

Univerzita Pardubice
Fakulta elektrotechniky a informatiky

Algoritmus Particle Swarm Optimization
Martin Klabeňš

Bakalářská práce
2019

Univerzita Pardubice
Fakulta elektrotechniky a informatiky
Akademický rok: 2018/2019

ZADÁNÍ BAKALÁŘSKÉ PRÁCE

(PROJEKTU, UMĚLECKÉHO DÍLA, UMĚLECKÉHO VÝKONU)

Jméno a příjmení: **Martin Klabeneš**
Osobní číslo: **I16101**
Studijní program: **B2646 Informační technologie**
Studijní obor: **Informační technologie**
Název tématu: **Algoritmus Particle Swarm Optimization**
Zadávající katedra: **Katedra informačních technologií**

Z á s a d y p r o v y p r a c o v á n í :

V optimalizačních úlohách lze jen zřídka najít řešení analyticky a je tedy často nutné užít algoritmů stochastických, které sice nemohou garantovat nalezení řešení v konečném počtu kroků, ale často pomohou nalézt v přijatelném čase řešení prakticky použitelné. K hledání aproximace optima bylo vyvinuto mnoho přibližných metod. Některé z nich jsou biologicky inspirovány. Cílem této práce bude prostudovat algoritmus Particle Swarm Optimization (PSO), který k nalezení řešení využívá analogie s chováním ptáků. Cílem práce bude sestavení programu umožňujícího hledání odhadu minima tzv. testovacích funkcí (např. Griewangkova funkce, Rastrigova funkce, Schwefelova funkce), které byly navrženy pro testování kvality heuristických algoritmů. V práci budou popsány veškeré aplikované metody a bude vysvětleno uživatelské prostředí aplikace.

Rozsah grafických prací: 10
Rozsah pracovní zprávy: 35
Forma zpracování bakalářské práce: tištěná/elektronická
Seznam odborné literatury:

KENNEDY, J. a R. EBERHART. Particle Swarm Optimization. In: Proceedings of IEEE International Conference on Neural Networks IV., 1995, pp. 1942-1948. doi:10.1109/ICNN.1995.488968
ENGELBRECHT Andries P. Computational Intelligence: An Introduction. Chichester: John Wiley & Sons, 2007. ISBN-13: 978-0470035610

Vedoucí bakalářské práce: **Mgr. Jaroslav Marek, Ph.D.**
Katedra matematiky a fyziky

Datum zadání bakalářské práce: **31. října 2018**
Termín odevzdání bakalářské práce: **12. května 2019**



Ing. Zdeněk Němec, Ph.D.
děkan



Ing. Lukáš Čegan, Ph.D.
pověřený vedením katedry

V Pardubicích dne 20. března 2018

Prohlašuji:

Tuto práci jsem vypracoval samostatně. Veškeré literární prameny a informace, které jsem v práci využil, jsou uvedeny v seznamu použité literatury.

Byl jsem seznámen s tím, že se na moji práci vztahují práva a povinnosti vyplývající ze zákona č. 121/2000 Sb., autorský zákon, zejména se skutečností, že Univerzita Pardubice má právo na uzavření licenční smlouvy o užití této práce jako školního díla podle § 60 odst. 1 autorského zákona, a s tím, že pokud dojde k užití této práce mnou nebo bude poskytnuta licence o užití jinému subjektu, je Univerzita Pardubice oprávněna ode mne požadovat přiměřený příspěvek na úhradu nákladů, které na vytvoření díla vynaložila, a to podle okolností až do jejich skutečné výše.

Beru na vědomí, že v souladu s § 47b zákona č. 111/1998 Sb., o vysokých školách a o změně a doplnění dalších zákonů (zákon o vysokých školách), ve znění pozdějších předpisů, a směrnicí Univerzity Pardubice č. 9/2012, bude práce zveřejněna v Univerzitní knihovně a prostřednictvím Digitální knihovny Univerzity Pardubice.

V Pardubicích dne 10.05.2019

Martin Klabeneš

PODĚKOVÁNÍ

Chtěl bych poděkovat Mgr. Jaroslavu Markovi, Ph.D. za příkladné vedení bakalářské práce, poskytnuté materiály a odborné rady ohledně algoritmu PSO.

ANOTACE

Práce je věnována problematice výpočtu globálního extrému funkce více proměnných. Problém není vždy řešitelný analyticky matematickými postupy a často se musíme spokojit pouze s přibližným řešením získaným na počítači pomocí heuristických metod. K nalezení extrému bude použit algoritmus Particle Swarm Optimization. Kroky tohoto algoritmu jsou inspirovány chováním ptáků. Hlavním cílem práce je vytvořit program pro výpočet extrému pomocí algoritmu PSO.

KLÍČOVÁ SLOVA

Particle Swarm Optimization, PSO, optimalizační algoritmus, optimalizace, extrém.

TITLE

Algorithm Particle Swarm Optimization

ANNOTATION

The thesis is focused on searching an approximate minimum of functions, for which it is not possible to find a minimal analytical path. The Particle Swarm Optimization algorithm, inspired by the analogy of bird behaviour, is used to find the minimum. The main goal of the thesis is to create a program that can be used for calculating the extreme using the PSO algorithm.

KEYWORDS

Particle Swarm Optimization, PSO, optimization algorithm, biological algorithms, optimization, extreme.

OBSAH

Seznam obrázků	9
Seznam tabulek	10
Seznam zkratk	11
Úvod	12
1 Particle Swarm Optimization	13
1.1 Začátek PSO.....	13
1.1.1 Studie PSO.....	14
1.2 Pomocné proměnné.....	17
1.2.1 Odstranění pomocných proměnných.....	17
1.2.2 Důležité proměnné.....	17
1.3 Úprava rychlosti.....	18
1.4 Zjednodušené PSO.....	18
1.5 Model inteligence hejna.....	19
1.6 Vícedimenzionální prohledávání.....	19
1.7 První algoritmus PSO.....	19
1.8 Popis vyhledávání pomocí PSO.....	21
1.9 Varianty PSO.....	21
1.9.1 GBEST Model.....	21
1.9.2 PBEST Model.....	22
1.9.3 Von Neumannův model.....	23
1.10 Určení parametrů.....	23
1.10.1 Rychlost částice.....	23
1.10.2 Akcelerační konstanty.....	24
1.11 Kombinace PSO a genetického algoritmu.....	25
1.12 Explorace a exploitace.....	25
2 Testovací funkce	27
2.1 Ackleyho funkce.....	28
2.2 Drop-Wave funkce.....	30
2.3 Griewangkova funkce.....	32
2.4 Eggholderova funkce.....	34
2.5 Levyho funkce.....	36
2.6 Rastriginova funkce.....	38
2.7 Schwefelova funkce.....	40
2.8 Rosenbrockova funkce.....	42
3 Popis programu	44
3.1 Ukázky kódu.....	45
3.2 Porovnání výsledků.....	48
3.2.1 Ackleyho funkce.....	49
3.2.2 Drop-wave funkce.....	50

3.2.3	Eggholderova funkce	51
3.2.4	Griewangkova funkce	52
3.2.5	Levyho funkce	53
3.2.6	Rastrigova funkce	54
3.2.7	Rosenbrockova funkce.....	55
3.2.8	Schwefelova funkce.....	56
4	Závěr	57
	Použitá literatura	58

SEZNAM OBRÁZKŮ

Obrázek 1: 1.iterace s vysokým c_1	15
Obrázek 2: 20.iterace s vysokým c_1	16
Obrázek 3: 1.iterace s vysokým c_2	16
Obrázek 4: 20.iterace s vysokým c_2	17
Obrázek 5: Znázornění výpočtu skoku	20
Obrázek 6: GBEST Model.....	21
Obrázek 7: PBEST Model - kruhovitá topologie.....	22
Obrázek 8: PBEST Model - centralizovaná topologie.....	22
Obrázek 9: Von Neumannův Model.....	23
Obrázek 10: Ackleyho funkce	28
Obrázek 11: Ackleyho funkce 2D	29
Obrázek 12: Ackleyho funkce profil	29
Obrázek 13: Drop-Wave funkce	30
Obrázek 14: Drop-Wave 2D	31
Obrázek 15: Drop-Wave funkce profil	31
Obrázek 16: Griewangkova funkce	32
Obrázek 17: Griewangkova funkce 2D	33
Obrázek 18: Griewangkova funkce profil	33
Obrázek 19: Eggholderova funkce	34
Obrázek 20: Eggholderova funkce 2D.....	35
Obrázek 21: Eggholderova funkce profil.....	35
Obrázek 22: Levyho funkce.....	36
Obrázek 23: Levyho funkce 2D.....	37
Obrázek 24: Levyho funkce profil.....	37
Obrázek 25: Rastriginova funkce	38
Obrázek 26: Rastriginova funkce 2D.....	39
Obrázek 27: Rastriginova funkce profil.....	39
Obrázek 28: Schwefelova funkce	40
Obrázek 29: Schwefelova funkce 2D	41
Obrázek 30: Schwefelova funkce profil	41
Obrázek 31: Rosenbrockova funkce	42
Obrázek 32: Rosenbrockova funkce 2D	43
Obrázek 33: Rosenbrockova funkce profil	43
Obrázek 34: Popis aplikace.....	44
Obrázek 35: Struktura programu	46
Obrázek 36: Řešení PSO v kódu JavaFX	46
Obrázek 37: Kontrola hranic skoku v kódu JavaFX.....	47
Obrázek 38: Ukázka předpisu funkce v JavaFX.....	47

SEZNAM TABULEK

Tabulka 1: Ackleyho funkce - hodnoty testu.....	49
Tabulka 2: Drop-wave funkce - hodnoty testu	50
Tabulka 3: Eggholderova funkce - hodnoty testu.....	51
Tabulka 4: Griewangkova funkce - hodnoty testu.....	52
Tabulka 5: Levyho funkce - hodnoty testu	53
Tabulka 6: Rastrigova funkce - hodnoty testu	54
Tabulka 7: Rosenbrockova funkce - hodnoty testu	55
Tabulka 8: Schwefelova funkce - hodnoty testu.....	56

SEZNAM ZKRATEK

PSO	Particle Swarm Optimization
pBest	Particle Best
gBest	Global Best

ÚVOD

Hledáním extrémů funkce se věnuje část matematické analýzy – diferenciální počet. Pomocí parciálních derivací prvního řádu můžeme najít body podezřelé z extrému a s využitím druhých parciálních můžeme rozhodnout o typu extrému. To je ale možné jen pokud derivace funkce existují a současně dokážeme vyřešit soustavu rovnic pro určení kritických bodů. Často ale takovým postupem získáme soustavu nelineárních rovnic, která nemá analytické řešení. Algebra nám nabízí jen vzorce pro výpočet kořenů polynomu třetího stupně nebo čtvrtého stupně. Francouzský matematik Galoise dokázal, že u polynomu pátého a vyššího stupně již nelze kořen analytickými postupy najít. Mnoho matematických úloh musíme tedy řešit jen s využitím numerických metod. Problémy hledání minima resp. maxima funkce se označují jako optimalizační úlohy. K řešení se používají často heuristické metody, které nám poskytnou přibližné řešení. Tyto heuristiky jsou často založeny na různých evolučních přístupech. Vzniklo mnoho metod, jejichž kroky jsou inspirovány chování různých živočichů. Ti se vyznačují a někdy lze konstatovat, že přežívají díky určitému chování. Pro přežití je nejdůležitější zejména zákon „přežití nejsilnějšího“. Slabší jedinci se pro přežití museli shlukovat do hejn, smeček nebo jiných skupin jedinců. Na principu křížení a mutace jsou založeny genetické algoritmy.

Efektivní metodou pro nalezení extrému funkce v přijatelném čase je metoda optimalizace hejnem částic neboli Particle Swarm Optimization. PSO byl poprvé popsán v roce 1995 dvěma autory Jamesem Kennedym a Russellem Eberhartem. Tato bakalářská práce vychází především z jejich práce [1].

Základní vyhledávací prvky algoritmu PSO jsou částice. Každá částice je definována svou polohou, rychlostí a doposud nejlepší nalezenou pozicí. [6]

Cílem této práce je popsat základní principy a kroky v algoritmu PSO a vytvořit software, který pomocí algoritmu PSO nalezne přibližnou hodnotu extrému u několika testovacích funkcí.

1 PARTICLE SWARM OPTIMIZATION

Optimalizační algoritmus PSO je založen především na inteligenci a chování hejna. Původním motivem pro simulaci bylo modelovat společenské chování lidí, což není na tomto principu možné. Důležitá je abstrakce. Je nutno však poukázat, že sice není možné na tomto principu společensky interagovat, ale je možné nechat se inspirovat vrstevníky v našich postojích a názorech. Hlavní rozdíl mezi lidmi a ptáky je, že dva lidé mohou mít stejné názory, ale dva ptáci nemohou být na stejném místě (problém kolize). [1]

Pro tři a méně rozměrné dimenze je nutno zabraňovat kolizím. Ve více než trojrozměrném prostoru jsou operace bez kolize. [1]

Inteligence hejna je založena na decentralizovaném chování jednotlivých jedinců, kteří na sebe vzájemně reagují. Každý jedinec se řídí jednoduchými, předem danými pravidly. I když není předem předepsáno, jak se jedinci mají chovat, vzájemná interakce mezi nimi způsobuje složité komplexní chování systému jako celku. [8]

1.1 Začátek PSO

První verze PSO pracovaly se zjednodušeným modelem společenského hejna. Ptáci byli označováni jako agenti. Původním záměrem bylo simulovat plynulý pohyb agenta, který by ale zůstal nepředvídatelným. Pro každého agenta byly důležité dvě složky: rychlost nejbližšího souseda a tzv. „šílenství“. Pozice agentů $[X, Y]$ a jejich rychlosti v byly náhodně vybrány. Pohyby agentů jsou ovlivněny nejbližším sousedem (sousedy). Skok agenta na novou pozici je vytvořen obdobně u sousedních agentů, podobná je jejich délka skoku i směr. Bohužel tímto způsobem se hejno rychle usadilo a přestalo měnit směr a délku skoku. Proto se zavedl pojem „šílenství“. Je to přidání náhodné hodnoty pro skok (délka, směr). Po zavedení „šílenství“ je simulace mnohem živější a zajímavější. Tento jev je však vytvořen uměle a nemá skutečnou analogii v chování ptáků. [1]

Studie F. Hybnera a U. Grenandera [2] vnesla do algoritmu nový poznatek. Bylo zjištěno, že ptáci po nějaké době začnou kroužit okolo hnízda a přistávat tam. To eliminuje nutnost přidávat do algoritmu „šílenství“. Nastává však další otázka a to ta, jak je možné, že ptáci naleznou správný směr i přes to, že nevědí, kde mají hledat cíl? Příkladem jsou holuby, kteří i přes to, že nevědí, kam mají doručit zprávu, během několika hodin se zorientují a naleznou směr. Z toho vyplývá, že členové hejna pravděpodobně využívají své znalosti orientace podle okolí pro nalezení ideálního směru. [1]

1.1.1 Studie PSO

Kroky algoritmu budeme demonstrovat na hledání globálního extrému, konkrétně minima, spojitě funkce dvou nezávislých proměnných. Takové zúžení problému nám umožní grafickou prezentaci výsledků.

Nejprve zavedeme mřížku bodů – pole – vnořenou do definičního oboru funkce, jejíž globální extrém budeme hledat. Z pole náhodně vybereme několik bodů, tyto body nazveme agenti. Agenti jsou tedy určeni souřadnicemi x a y .

Pro každého agenta se vyhodnotí z jeho pozice x a y funkční hodnota zkoumané funkce f , například daná vzorcem:

$$\text{Eval} = f(x, y) = \sqrt{(x - 100)^2} + \sqrt{(y - 100)^2}.$$

To znamená, že agent s polohou (100,100) má hodnotu 0. Souřadnice agentů budeme postupně měnit pomocí jistých pravidel, která reflektují na průběh grafu zkoumané funkce. Každý agent si bude pamatovat svou nejmenší hodnotu funkce a odpovídající nejlepší (z pohledu minimalizačního problému) pozici x a y . Tyto hodnoty byly pojmenovány $pBest[]$ (někdy označováno jako $lBest$ – „local best“) pro nejlepší hodnotu v rámci funkce, $pBest_x[]$ a $pBest_y[]$ pro nejlepší pozice x a y . Závorky nám říkají, že se jedná o pole o velikosti počtu agentů. Jakmile se agent začne pohybovat prostorem – definičním oborem, pak jsou jeho rychlost, pozice x a pozice y upravovány. Např. pokud je agent napravo od $pBest_x[]$, potom jeho rychlost X korigujeme záporně podle vzorce:

$$v_x[] = v_x[] - rand() * p_{increment}.$$

Pokud je $pBest_x[]$ vlevo, agent by skočil v kladném směru osy x podle vzorce:

$$v_x[] = v_x[] + rand() * p_{increment}.$$

Stejně to je i u $pBest_y[]$, jen se mění vertikální směr pohybu agenta nahoru nebo dolů. $v_x[]$ a $v_y[]$ jsou rychlosti pohybu. [1]

Každý agent zná nejlepší globální hodnotu hejna, kterou již našel jakýkoliv jiný agent. Toho je dosaženo pomocí přidání indexu pro nejlepší hodnotu. Index se nazývá $gBest$. Např. nejlepší hodnota pro pozici x je $pBest_x[gBest]$. Analogicky zavádíme obdobnou veličinu i pro pozici y . Informace o $gBest$ je dostupný pro všechny členy hejna. Skoky $v_x[]$ a $v_y[]$ jsou počítány následovně.[1]

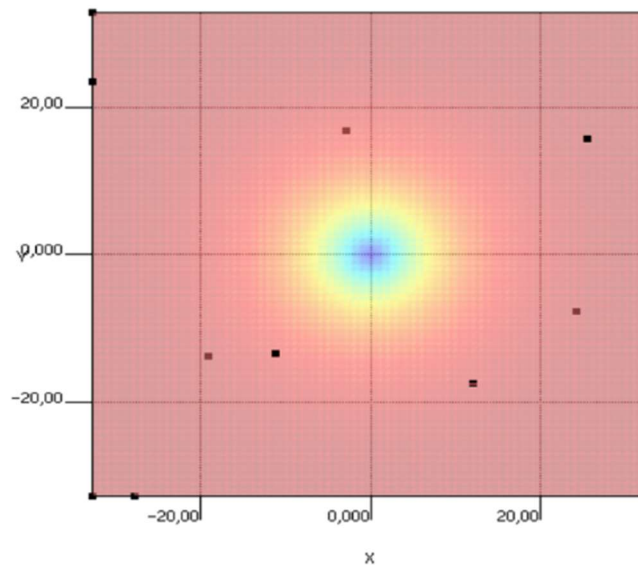
❖ Pokud $present_x[] > pBest_x[gBest]$, potom $v_x[] = v_x[] - rand() * g_{increment}$,

- ❖ pokud $present_x[] < pBestx[gBest]$, potom $v_x[] = v_x[] + rand() * g_{increment}$,
- ❖ pokud $present_y[] > pBestx[gBest]$, potom $v_y[] = v_y[] - rand() * g_{increment}$,
- ❖ pokud $present_y[] < pBestx[gBest]$, potom $v_y[] = v_y[] + rand() * g_{increment}$.

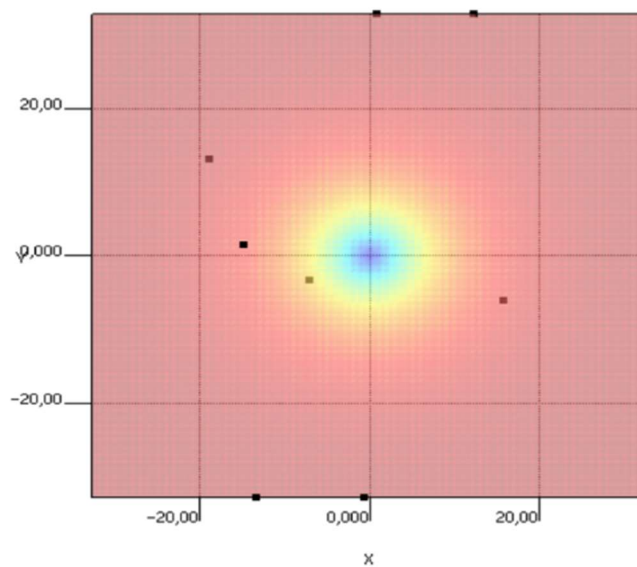
kde $g_{increment}$ je akcelerační koeficient (následně budou tyto konstanty označovány jako c_1 a c_2).

Pozorovatel mohl sledovat, jak se agenti pohybují, dokud nenajdou námi hledaný bod (představující např. potravu). Výsledky byly překvapivé. Pokud jsou parametry $g_{increment}$ a $p_{increment}$ velké, hejno se velmi rychle dostávalo k hledanému bodu v několika málo iteracích. Celé hejno (15 – 30 jedinců) obklopilo námi hledaný bod a kroužilo okolo něj. S nízkými parametry se hejno dostane k cíli s určitou rytmikou a nakonec přistává v námi hledaném bodě. [1]

1. Vysoký první koeficient tj. $c_1 = 2$. Koeficient c_2 zůstává nezměněn.

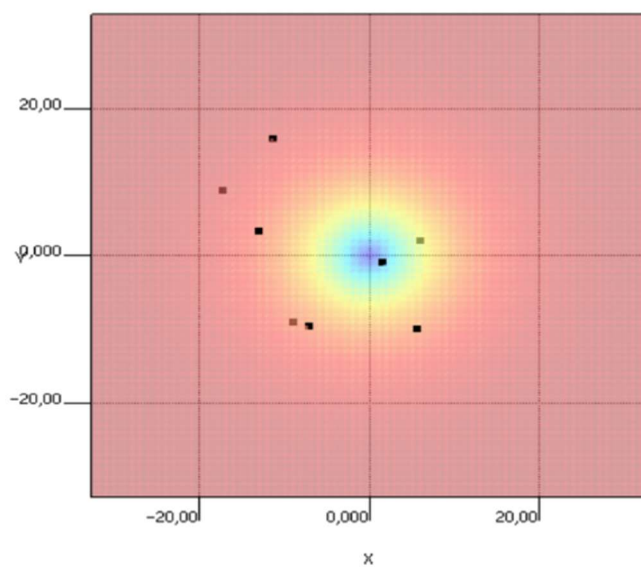


Obrázek 1: 1.iterace s vysokým c_1

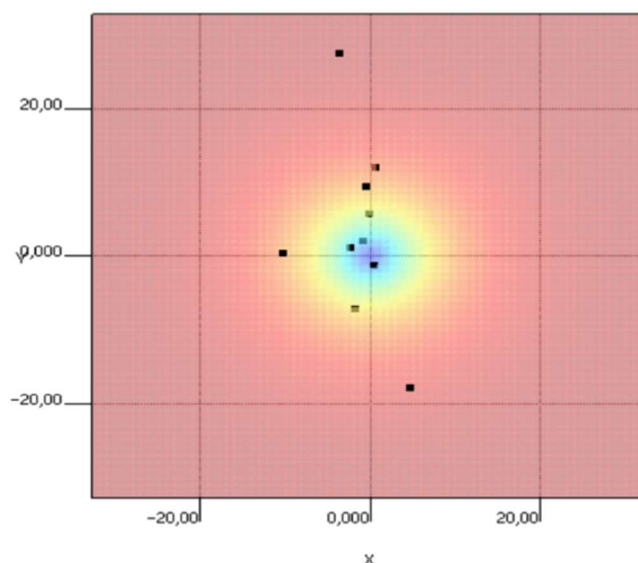


Obrázek 2: 20.iterace s vysokým c_1

2. Vysoký druhý koeficient, tj. $c_2 = 2$. Koeficient c_2 zůstává nezměněn.



Obrázek 3: 1.iterace s vysokým c_2



Obrázek 4: 20.iterace s vysokým c_2

1.2 Pomocné proměnné

1.2.1 Odstranění pomocných proměnných

Autoři algoritmu zjistili, že v algoritmu není nutné mít proměnnou „šílenství“. Algoritmus sice ztratil živost, kterou tato proměnná dávala, ale na průběh optimalizace funkce to nemělo vliv. [1]

Dále bylo zjištěno, že k optimu iterujeme o něco rychleji, pokud je odstraněna rychlost nejbližšího souseda. To změní celkový vizuální efekt. Jednotlivci hejna se pohybují náhodně, ale na výslednou schopnost konvergence k cíli to nemá vliv. [1]

1.2.2 Důležité proměnné

1. Proměnná $pBest$ – proměnnou $pBest$ můžeme nazvat jako paměť agenta, jelikož každý agent si pamatuje svou vlastní pozici. Tato pozice vychází ze zkušeností konkrétního jedince. Jedinec má tendenci vracet se na místo, které ho v minulosti zaujmulo – v našem případě pozice $pBest$.
2. Proměnná $gBest$ – proměnnou $gBest$ můžeme nazvat jako globální paměť agentů. Zároveň je to hodnota, kterou se snaží jedinec dosáhnout.
3. Hodnota $p_{increment}$ – první akcelerační koeficient, který se v následných pracích zapisuje jako c_1 . Vzorec akceleračního koeficientu je dle [1]:

$$0,5 + \log(2) \cong 1,193.$$

4. Hodnota $g_{increment}$ – druhý akcelerační koeficient, který se v následujících pracích označuje jako c_2 . Vzorec akceleračního koeficientu je podle [1]:

$$\frac{1}{2\log(2)} \cong 0,721.$$

Hodnoty $p_{increment}$ a $g_{increment}$ jsou velice důležité v rychlosti konvergence a nalezení optima. Viz explorace a exploitace [1].

1.3 Úprava rychlosti

Úprava rychlosti je založena pouze na porovnávání – pokud je $present_x > Best_x$, zmenši $present_x$. Pokud je $present_x < Best_x$, zvětši $present_x$. Experimenty dále odhalili, že pro zlepšení výkonu algoritmu je lepší měnit rychlost podle pozice od cíle.

$$v_{xy}[][] = v_{xy}[][] + rand() * p_{increment} * (pBest_x[][] - present_x[][]).$$

Parametry v_x a $present_x$ mají dvě závorky, protože to jsou matice agentů podle rozměrů. [1]

1.4 Zjednodušené PSO

Vzhledem k tomu, že hodnoty akceleračních konstant $p_{increment}$ nebo $g_{increment}$ byly zjišťovány experimentálně a jejich přesná hodnota není ke správně funkci algoritmu třeba, byla snaha o eliminaci těchto konstant ze vzorce. Proto tyto konstanty byly z algoritmu vyškrtuty a nahrazeny vynásobením dvěma. Původní algoritmus byl zjednodušen a nyní vypadá takto:

$$v_x[][] = v_x[][] + 2 * rand() * (pBest_x[][] - present_x[]) + 2 * rand() * (pBest_x[][gBest] - present_x[][]).$$

Dále byly testovány další typy algoritmu, ale výsledek se již nezlepšil. Např. metoda osadníků a průzkumníků (podobné, jako heslo „rozděl a panuj“). Průzkumníci prohledávali celou oblast a cílem osadníků byl prohledat mikroregiony. Tato metoda však nezaznamenala zlepšení oproti původnímu algoritmu. [1]

Další modifikace algoritmu spočívala v odstranění původní rychlosti a změnu vzorce na úpravu rychlosti na:

$$v_x[][] = 2 * rand() * (pBest_x[][] - present_x[]) + 2 * rand() * (pBest_x[][gBest] - present_x[][]).$$

Tato verze se však oproti původnímu velice zhoršila a byla téměř nepoužitelná při hledání globálního optima. [1]

1.5 Model inteligence hejna

M.M. Millonas [3] vyvinul model pro inteligenci hejna. Tento model má 5 základních principů:

- ❖ populace by měla být schopna provádět časové a prostorové výpočty. (princip blízkosti),
- ❖ populace by měla reagovat na kvalitu životního prostředí (princip kvality),
- ❖ populace by neměla provádět své úkony v příliš malém okolí (princip rozmanitosti),
- ❖ populace by se měla chovat stejně při každé změně prostředí (princip stability),
- ❖ populace by měla být schopna se adaptovat na jiné prostředí, pokud to má smysl (princip adaptace).

Přičemž body 4 a 5 jsou vzájemně opačné, ale nevylučují se. [1]

Zdá se, že algoritmus dodržuje všech pět bodů. Následný termín „částice“ byl vybrán jako kompromis, protože se jedná o poměrně velké množství agentů, kteří se pohybují prostorem z části náhodně a relativně nesynchronizovaně. Tento algoritmus je extrémně jednoduchý ale však velice efektivní při hledání optima pro velké množství funkcí. Jde o biologický algoritmus založený na inteligenci hejna. Je velmi závislý na stochastických procesech. [1]

1.6 Vícedimenzionální prohledávání

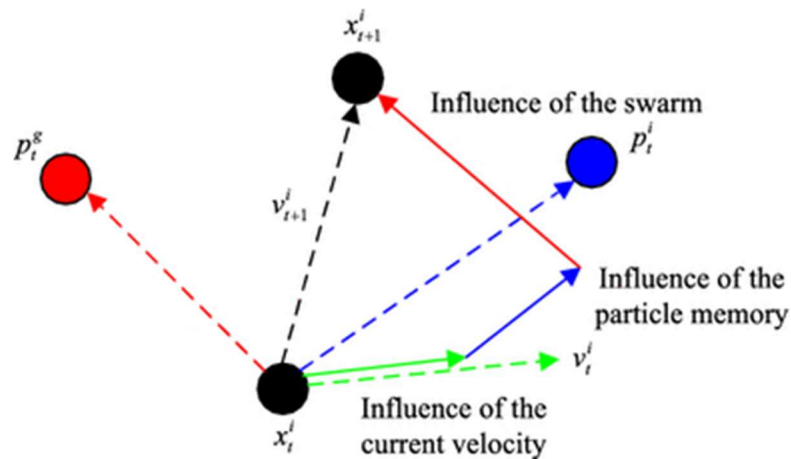
Jedním z cílů je vytvořit algoritmus pro vyhledávání ve více než dvourozměrných systémech a zároveň docílit nekolidního stavu (aby nevznikla kolize). Oproti původnímu algoritmu se změní $present_x$ a $present_y$ (samozřejmě se také změní v_x a v_y). Pro všechny tyto hodnoty se vytvoří matice z původního jednodimenzionálního pole na $D \times N$, přičemž D je počet dimenzí a N je počet agentů v každé dimenzi. [1]

Pro simulaci nelineárních a vícedimenzionálních polí nastal problém, bylo potřeba vytvořit vícevrstvou neuronovou síť, kterou je třeba trénovat. Byl vytvořen pokus pro třinácti-rozměrnou síť s uspokojivým výsledkem, neuronová síť XOR bylo natrénována během 31 iterací, dvacet agentů. [1]

1.7 První algoritmus PSO

Každý jedinec je definován především svou pozicí a svou rychlostí. Každý jedinec si pamatuje své lokální optimum a zná také nejlepší nalezené optimum celého hejna. [9]

Pohyb jedinců, který je popsán níže, vypadá přibližně dle [10] takto:



Obrázek 5: Znáznornění výpočtu skoku

celkový pohyb každého jedince je zajištěn dle vzorce:

$$x_i(t + 1) = x_i(t) + v(t + 1),$$

kde

- ❖ $x_i(t)$ je aktuální pozice agenta,
- ❖ $v(t + 1)$ je pohyb agenta v následující iteraci,
- ❖ $x_i(t + 1)$ je pozice agenta v následující iteraci.

Rychlost je následně vypočítána podle vzorce:

$$v_{ij}(t + 1) = v_{ij}(t) + c_1 r_1(t) [pBest_{ij}(t) - x_{ij}(t)] + c_2 r_2(t) [gBest_{ij}(t) - x_{ij}(t)],$$

kde

- ❖ v_{ij} je rychlost jedince,
- ❖ x_{ij} je aktuální pozice jedince,
- ❖ $t + 1$ je následující iterace,
- ❖ t je aktuální iterace,
- ❖ c_1, c_2 jsou akcelerační koeficienty,
- ❖ r_1, r_2 jsou náhodně vygenerovaná čísla v intervalu $\langle 0, 1 \rangle$,
- ❖ $pBest_{ij}$ je dosud nejlepší nalezená pozice konkrétního jedince,
- ❖ $gBest_{ij}$ je dosud nejlepší nalezená pozice celého hejna. [9]

1.8 Popis vyhledávání pomocí PSO

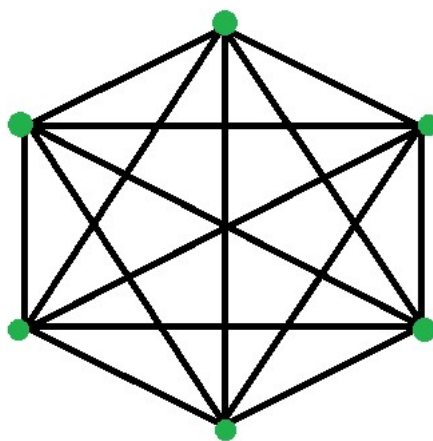
1. Inicializace pole částic. Pozice každé částice je zcela náhodná. Kontrolována je pouze pozice ve vyhledávacím prostoru.
2. Pro každou částici je vypočítána její hodnota na její aktuální pozici.
3. Porovnání aktuální hodnoty každé částice s $pBest$. Pokud je současná hodnota lepší než původní hodnota, současná hodnota je uložena do $pBest$ a zároveň je uložena i její pozice.
4. Aktualizace rychlosti.
5. Opakování kroku 2 – 5, dokud nejsou splněny podmínky ukončení.[8]

1.9 Varianty PSO

Z důvodu pokusu o zrychlení konvergence existují modifikace algoritmu PSO. Hlavní dvě modifikace se nazývají GBEST Model a PBEST Model. [8]

1.9.1 GBEST Model

Model GBEST je založen na globálním nejlepším nalezeném řešení celého hejna. Všechny částice jsou přitahovány tímto nejlepším nalezeným řešením. GBEST Model si lze představit jako zcela propojenou síť, kde všechny částice mají přístup ke všem informacím. U tohoto modelu je vysoká rychlost konvergence. Problém je, že s vysokou rychlostí konvergence je vysoká možnost uváznutí v lokálním řešení. [8]

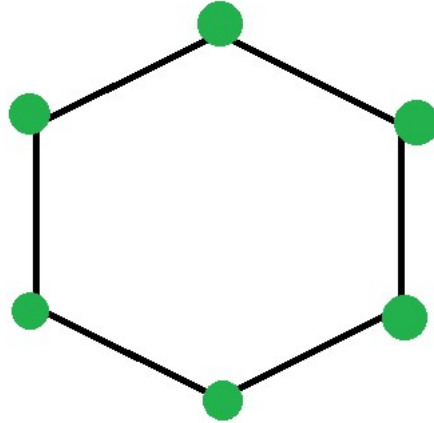


Obrázek 6: GBEST Model

1.9.2 PBEST Model

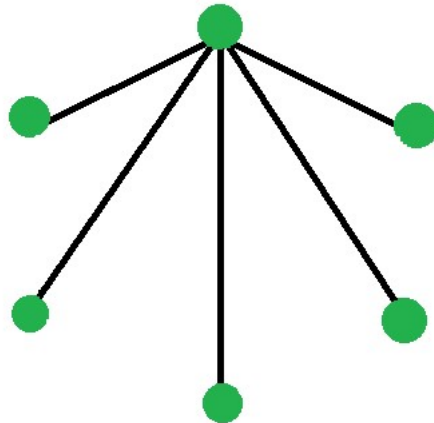
Model PBEST je založen na nejlepším nalezeném řešení pouze nejbližších jedinců. Pro toto řešení existují dvě varianty. Tento model je co do konvergence pomalejší než GBEST Model, ale je nižší pravděpodobnost, že simulace sklouzne do lokálního optima. [8]

1. Kruhovitá topologie – každá částice je propojena s dvěma nejbližšími sousedy, kteří s danou částicí sdílejí své informace o nejlepší nalezené pozici. [8]



Obrázek 7: PBEST Model - kruhovitá topologie

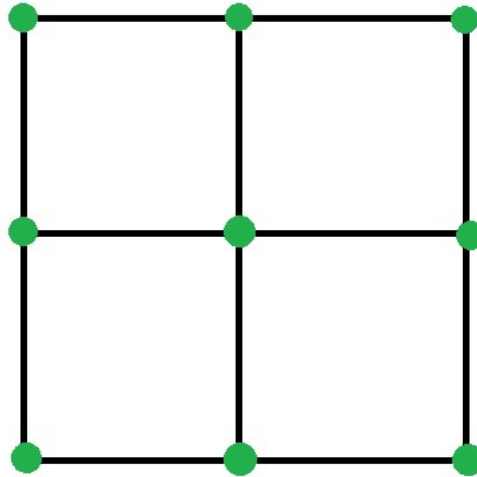
2. Centralizovaná topologie – částice jsou odděleny od ostatních. Všechny informace o nalezených hodnotách a pozicích jsou soustředěny na hlavního jedince. [8]



Obrázek 8: PBEST Model - centralizovaná topologie

1.9.3 Von Neumannův model

U Von Neumannova modelu se předpokládá relativně rychlá konvergence a zároveň snižuje šance na uváznutí v lokálním optimu. Tento model je založen na čtvercové mřížce. Každý jedinec komunikuje se čtyřmi okolními sousedy. [8]



Obrázek 9: Von Neumannův Model

1.10 Určení parametrů

Při určování parametrů pro PSO je třeba dosažení konvergence ale zároveň zajistit, aby nedošlo k tzv. explozi roje. To znamená, že částice kvůli velké délce skoku přeskakují řešení, které by bylo jinak vhodné. Mezi základní předpoklady pro správu funkci PSO patří[8]:

1. maximální rychlost částic,
2. správné nastavení konstant,
3. správné nastavení setrvačnosti.

1.10.1 Rychlost částice

Vzhledem k tomu, že rychlost částice je generována v každém kroku náhodně, může nabývat jakýchkoli hodnot. Z tohoto důvodu se částice může pohybovat zcela chaoticky. Proto je vhodné nastavit dolní a horní mez. Tyto meze je nutno měnit v závislosti na mezích řešené funkce. v případě velké rychlosti budou částice optimum přeskakovat. v případě malé rychlosti částice budou konvergovat velice pomalu a mohou skončit v lokálním optimu. Podle výzkumu je nejlepší řešení (V_{max}) podle vzorce: [8]

$$V_{max} = (X_{max} - X_{min})/N,$$

kde N je počet intervalů funkce. Rozměry X_{max} a X_{min} jsou minimální a maximální hodnoty pozice aktuálně nalezených částicemi. [8]

1.10.2 Akcelerační konstanty

Akcelerační konstanty zajišťují pohyb částic k nejlepší dosavadně nalezené pozici (ke $gBest$). V případě vysoké hodnoty konstant je nebezpečí, že částice budou divergovat. V případě nízké hodnoty konstant jsou částice velice omezeny v pohybu a mohly by sklouznout do lokálního optima. Z důvodu zjištění optimální velikosti konstant byl proveden experiment. V jednom prostoru byla experimentálně určena akcelerační konstanta ϕ . Pro jednorozměrný prostor je konstanta jen jedna, protože nejlepší pozice pro optimum je také jen jedna. Hodnota ϕ je rovna $c_1 + c_2$. Pro nízké hodnoty konstanty ϕ vypadala trajektorie jako sinusoida. Při vysokých hodnotách se dráha částice blížila nekonečnu. Ideální velikost konstanty byla stanovena na hodnotu 4. Z toho vyplývá, že c_1 a zároveň c_2 mají vhodnou velikost 2. Velikost konstant nemusí být stejná, záleží na optimalizačním problému. [8]

Postupem času se však ukázalo, že i když jsou konstanty i maximální rychlost správně nastaveny, stále může dojít k explozi roje. V současné době jsou dvě metody, jak lze tento problém řešit. [8]

1. Vynásobení pravé strany rovnice omezujícím faktorem χ . Omezující faktor je konstanta, která se používá při situaci, kdy $c_1 + c_2 > 4$. Výpočet omezujícího faktoru vypadá následovně. [8]

$$\chi = \frac{2}{|2 - \phi - \sqrt{\phi^2 - 4\phi}|}$$

Rovnice pro výpočet rychlosti se při této modifikaci zapíše následovně:

$$v_i(t) = \chi \{v_i(t - 1) + c_1 \cdot rand_1 \cdot (p_i - x_i(t - 1)) + c_2 \cdot rand_2 \cdot (p - x_i(t - 1))\}.$$

Konvergence je lepší s omezujícím faktorem kvůli snížení oscilace částic. To však platí ve chvíli, kdy jsou částice již zaměřeny na oblast, kde se nachází optimum. Je zde ale riziko, že částice nebudou konvergovat nikdy. To nastává, pokud je jejich nejlepší pozice ($pBest$) příliš vzdálena od nejlepší dosažené hodnoty ($gBest$). [8]

2. Vynásobení setrvačnosti. Parametr pro konstantu setrvačnosti se značí ϕ_{ic} . Tímto parametrem vynásobíme pouze setrvačnost $v_i(t - 1)$, ne celou pravou stranu. Rovnice pro výpočet rychlosti se v této modifikaci zapíše následovně[8]:

$$v_i(t) = \phi_{ic} v_i(t - 1) + c_1 \cdot rand_1 \cdot (p_i - x_i(t - 1)) + c_2 \cdot rand_2 \cdot (p_g - x_i(t - 1)).$$

Konstanta setrvačnosti může být po celou dobu optimalizace konstantní nebo se může měnit v čase. Tímto parametrem se kontroluje detailnost prohledávání. Při spuštění algoritmu je vhodné mít parametr nastavený na relativně vysokou hodnotu (např. 0,9). V takovém případě se částice pohybuje poměrně rychle. Pokud dojde k nalezení oblasti s optimem, je vhodné parametr snížit (např. 0,4). Tím se sníží velikost skoku a zároveň zvýší detailní prohledávání prostoru, což urychluje nalezení optima. Problém však může nastat z důvodu uváznutí v lokálním optimu. [8]

1.11 Kombinace PSO a genetického algoritmu

Kombinace algoritmu PSO a genetických algoritmů je algoritmus, který kombinuje mechanismus přirozeného výběru a výhody inteligence hejna. Tím se zvyšuje počet částic s dobrou pozicí a tím i rychlost konvergence. Algoritmus v každém kroku snižuje počet částic, které jsou špatně ohodnocené. Výhody tohoto algoritmu jsou změny prohledávané oblasti díky $gBest$ a $pBest$ parametrům. Jednou z možností, jak lze PSO vylepšit je aplikování reprodukce, což znamená, že u částic, které si náhodně vybereme, změníme pozici a rychlost. Např.

$$child_1(x) = p \cdot parent_1(x) + (1 - p) parent_2(x),$$

$$child_2(x) = p \cdot parent_2(x) + (1 - p) parent_1(x),$$

$$child_1(v) = (parent_1(v) + parent_2(v)) \cdot \frac{|parent_1(v)|}{|parent_1(v) + parent_2(v)|},$$

$$child_2(v) = (parent_1(v) + parent_2(v)) \cdot \frac{|parent_2(v)|}{|parent_1(v) + parent_2(v)|},$$

kde

- ❖ p je náhodné číslo $(0,1)$,
- ❖ $parent_{1,2}(x)$ je pozice náhodně zvolené částice,
- ❖ $parent_{1,2}(v)$ je rychlost částice,
- ❖ $child_{1,2}(x)$ a $child_{1,2}(v)$ jsou potomci.

Potomci následně nahradí rodiče s nízkou hodnotou funkce. Rodiče jsou z algoritmu odstraněni. [8]

1.12 Explorace a exploitace

V celém algoritmu PSO je nezbytné mít správný poměr mezi Explorací a exploitací. Jsou funkce, kdy je důležitější pro nalezení optima více explorace než exploitace. Tím se zvyšuje

šance najít optimum, ale zároveň se také zvyšuje doba konvergence. Explorace a exploitace jsou nezbytné pro správné fungování algoritmu PSO. [9]

Explorace je v rámci PSO znamená prohledávání velké části grafu. V důsledku zachování rozmanitosti a zároveň neuváznout v lokálním optimu je udržení explorace v PSO velice důležité. Graf sice není prohledáván příliš do hloubky, ale celé hejno získá povědomí o velkém prostoru, na němž se nachází. V rámci explorace částice prohledávají od sebe vzdálená místa. [9]

Exploitace je opakem explorace. Při exploitaci PSO je prohledávána vybraná oblast, která je již relativně malá. Tato oblast je prohledávána převážně do hloubky. ve správné oblasti, ve které se nachází i hledané optimum. s exploitací také souvisí konvergence algoritmu. Částice v této fázi se již nepohybují chaoticky po celém prostoru grafu, ale pouze po určité prohledávané části. Tato část je vybrána jako nejlepší v rámci explorace. [9]

2 TESTOVACÍ FUNKCE

Testovací funkce jsou funkce, pro které je složité nalézt globální minimum. Funkce jsou vykresleny v programu Matlab 9.4.0.813654 (R2018a). [4][5]

Existuje mnoho funkcí, u nichž problém minimalizace nelze řešit analyticky nebo to není vhodné. Důvody pro řešení jiným, než analytickým způsobem jsou:

- ❖ vysoká výpočetní náročnost,
- ❖ vůbec neexistuje analytické řešení.

2.1 Ackleyho funkce

Ackleyho funkce je dána předpisem:

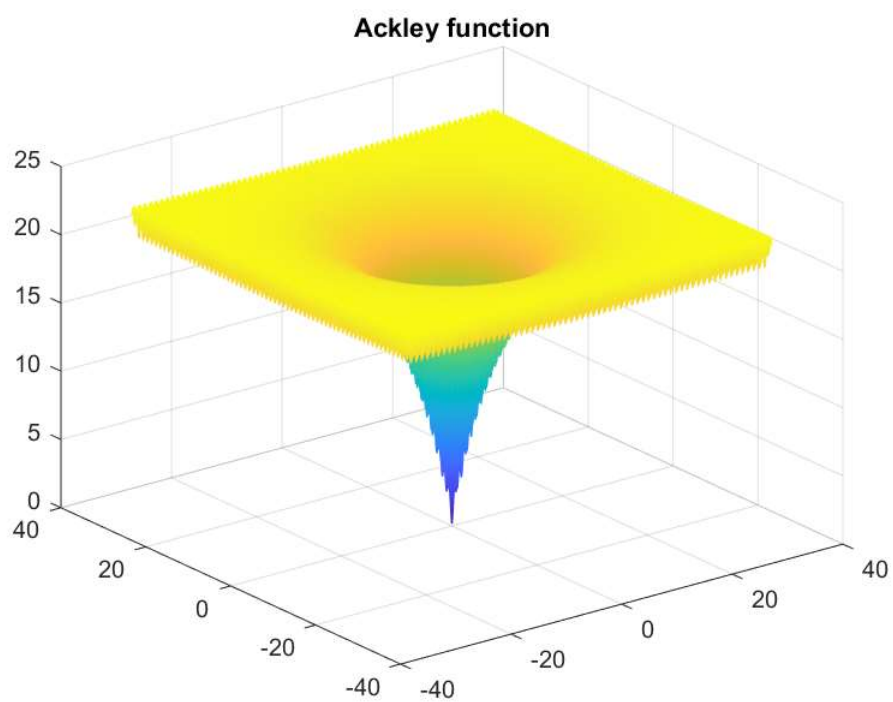
$$f(x) = -a \exp\left(-b \sqrt{\frac{1}{d} \sum_{i=1}^d x_i^2}\right) - \exp\left(\frac{1}{d} \sum_{i=1}^d \cos(cx_i)\right) + a + \exp(1), \text{ kde}$$

globální minimum je:

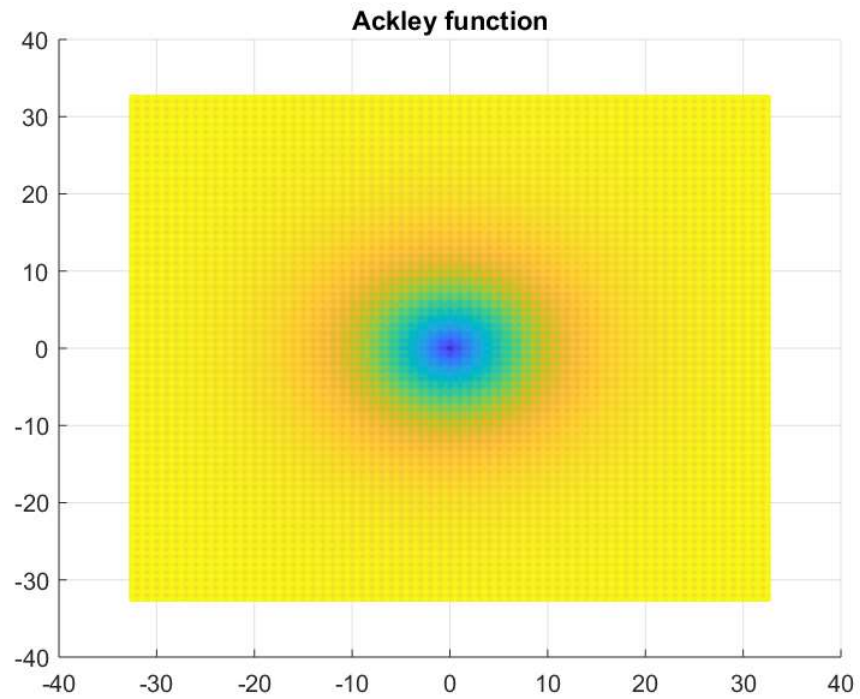
- ❖ $f(x^*) = 0$,
- ❖ $x^* = (0, \dots, 0)$.

Interval funkce je:

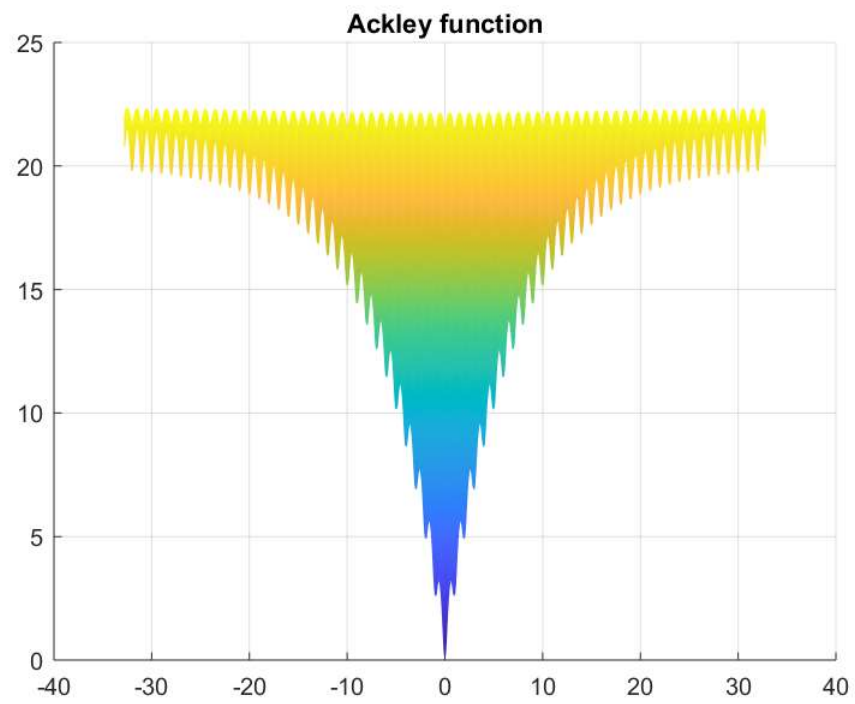
- ❖ $\langle -32.768, 32.768 \rangle$.



Obrázek 10: Ackleyho funkce



Obrázek 11: Ackleyho funkce 2D



Obrázek 12: Ackleyho funkce profil

2.2 Drop-Wave funkce

Drop-Wave funkce je dána předpisem:

$$f(x) = -\frac{1 + \cos\left(12\sqrt{x_1^2 + x_2^2}\right)}{0.5(x_1^2 + x_2^2) + 2}, \text{ kde}$$

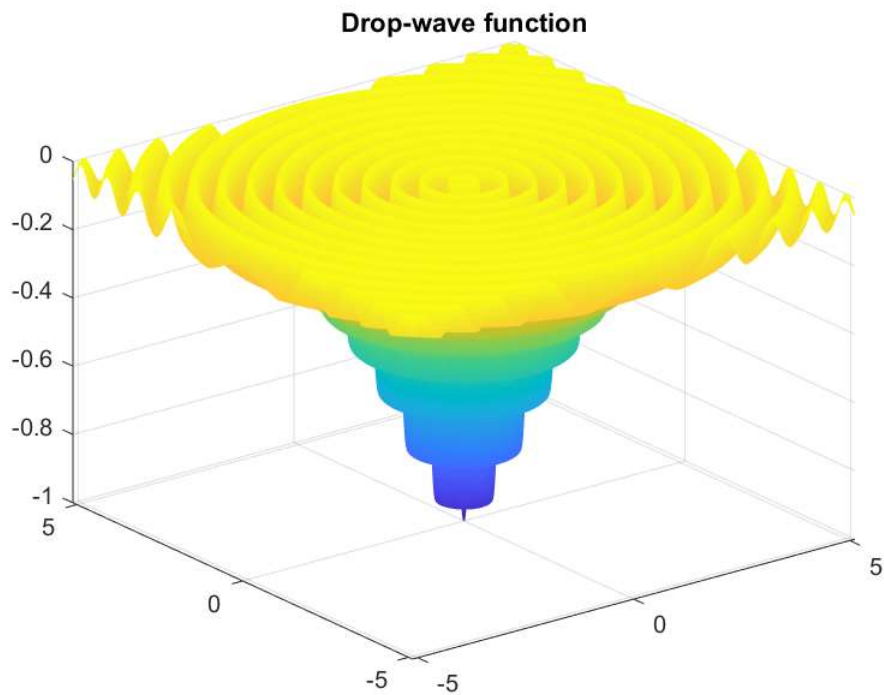
globální minimum je:

$$\diamond f(x^*) = -1,$$

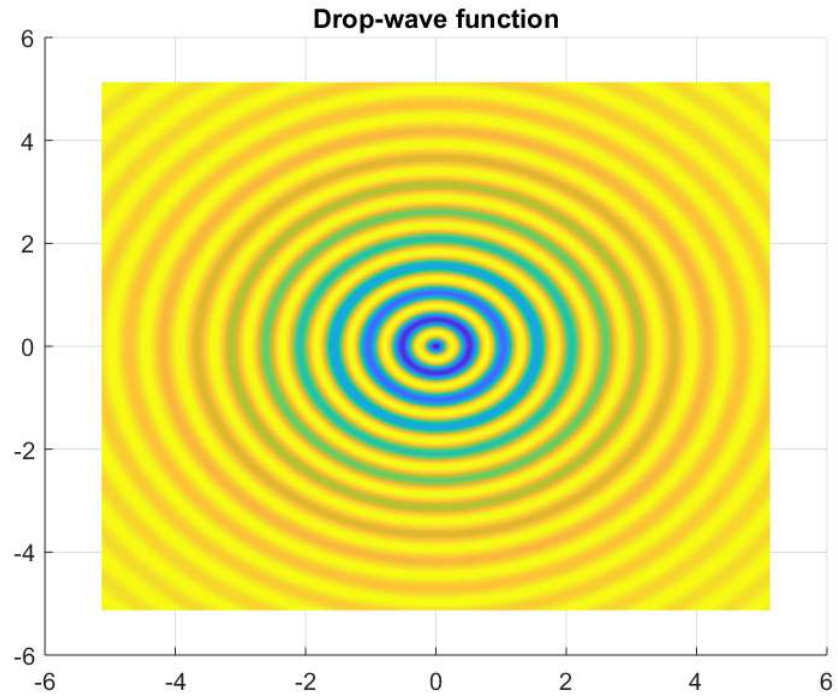
$$\diamond x^* = (0,0).$$

Interval funkce je:

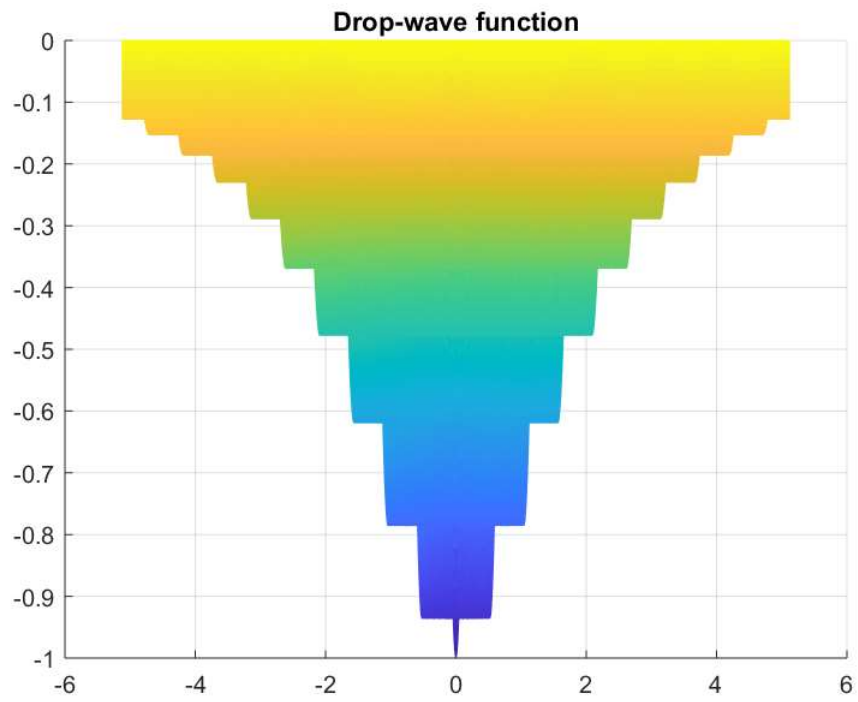
$$\diamond \langle -5.12, 5.12 \rangle.$$



Obrázek 13: Drop-Wave funkce



Obrázek 14: Drop-Wave 2D



Obrázek 15: Drop-Wave funkce profil

2.3 Griewangkova funkce

Griewangkova funkce je dána předpisem:

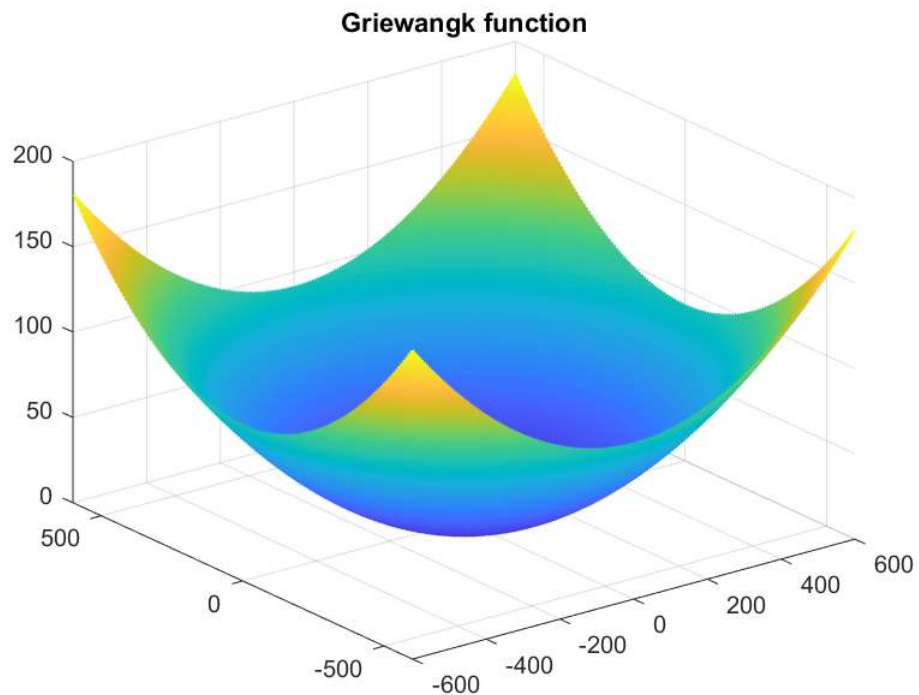
$$f(x) = \sum_{i=1}^d \frac{x_i^2}{4000} - \prod_{i=1}^d \cos\left(\frac{x_i}{\sqrt{i}}\right) + 1, \text{ kde}$$

globální minimum je:

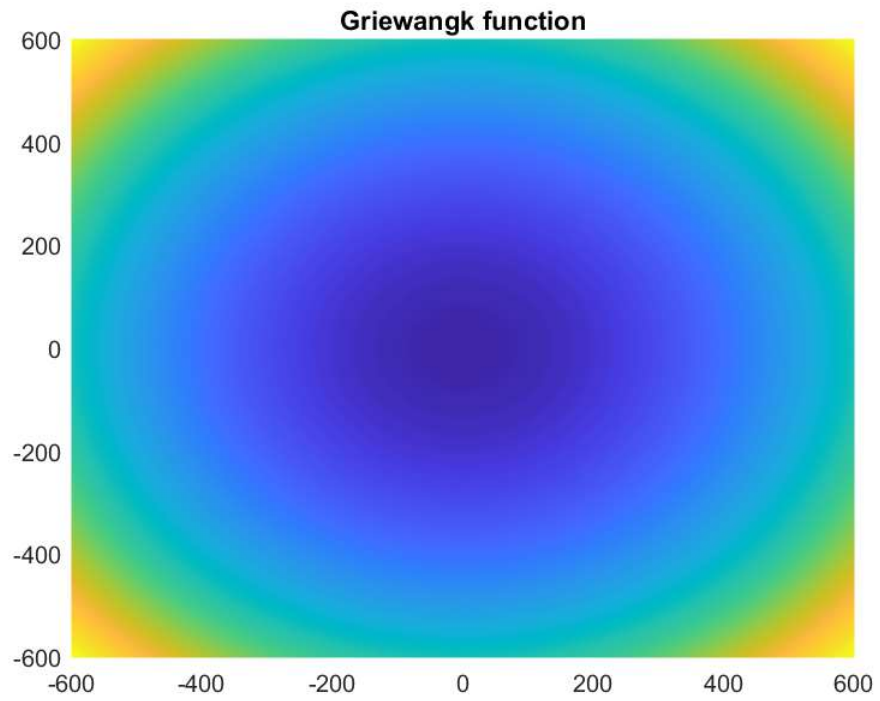
- ❖ $f(x^*) = 0$,
- ❖ $x^* = (0, \dots, 0)$.

Interval funkce je:

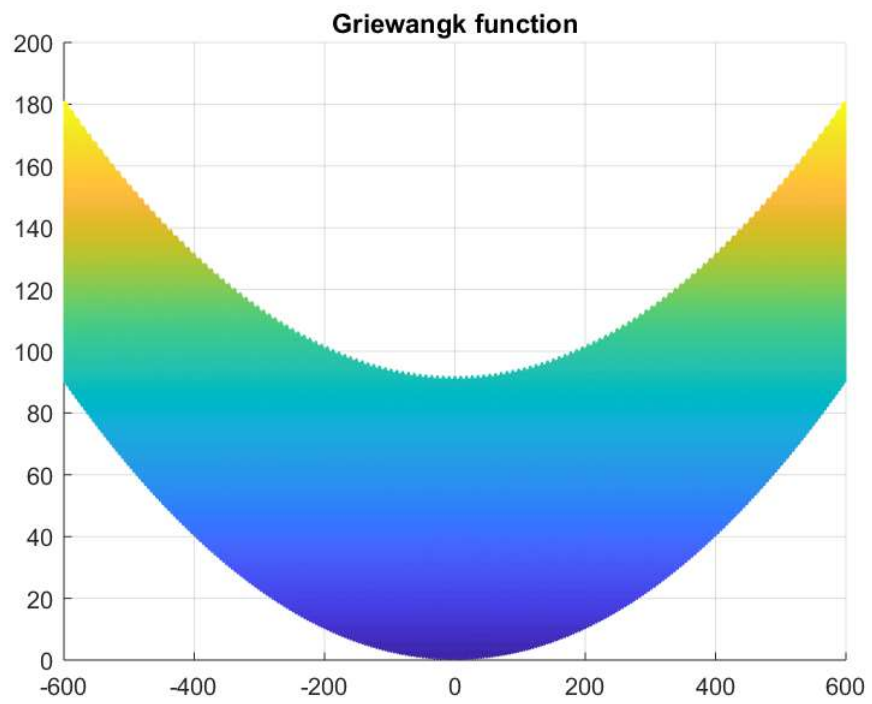
- ❖ $\langle -600, 600 \rangle$.



Obrázek 16: Griewangkova funkce



Obrázek 17: Griewangkova funkce 2D



Obrázek 18: Griewangkova funkce profil

2.4 Eggholderova funkce

Eggholderova funkce je dána předpisem:

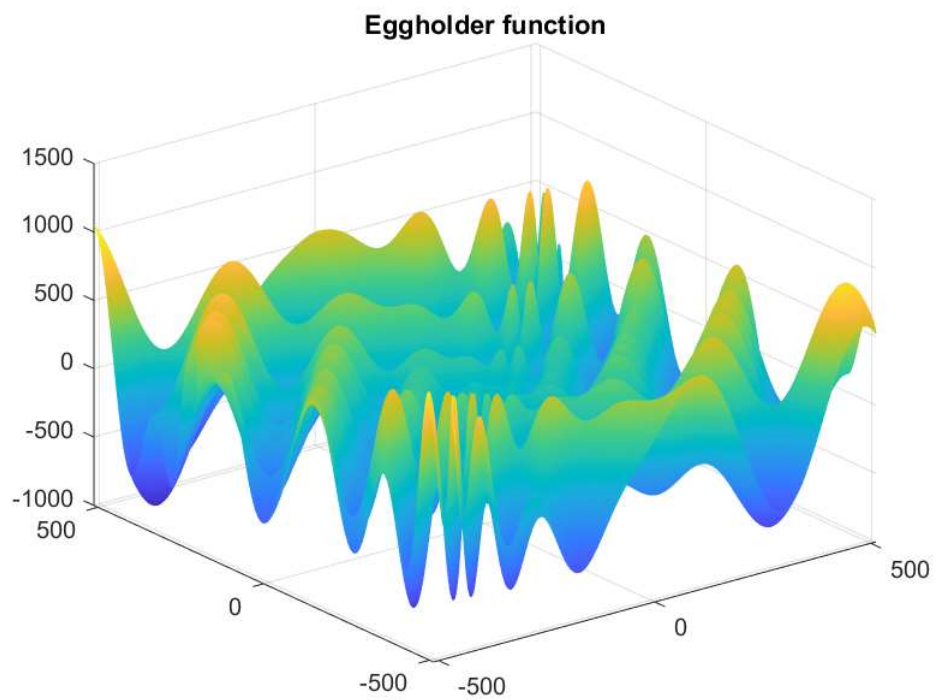
$$f(x) = -(x_2 + 47) \sin\left(\sqrt{\left|x_2 + \frac{x_1}{2} + 47\right|}\right) - x_1 \sin(\sqrt{|x_1 - (x_2 + 47)|}), \text{ kde}$$

globální minimum je:

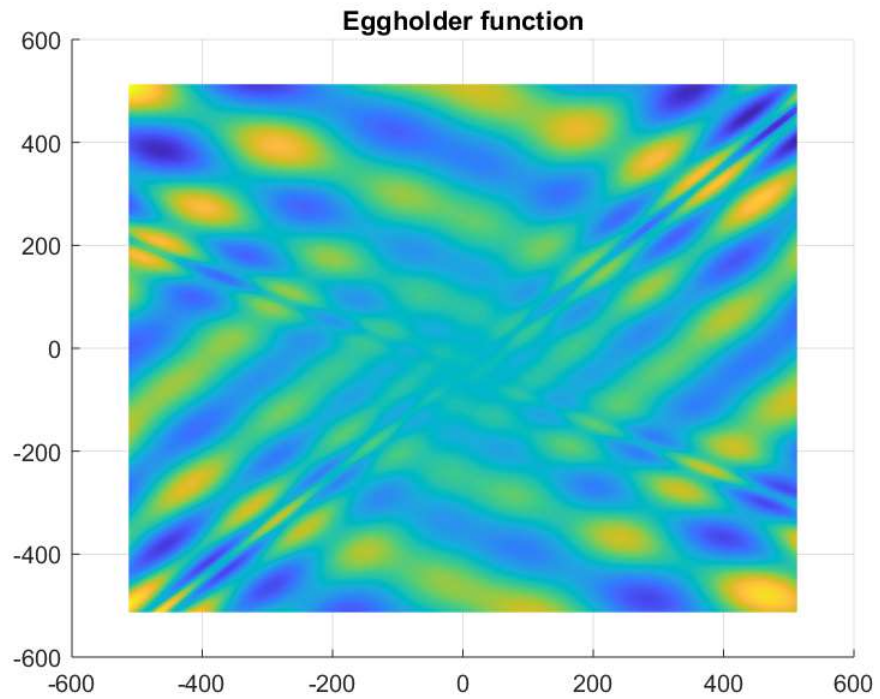
- ❖ $f(x^*) = -959.6407$,
- ❖ $x^* = (512, 404.2319)$.

Interval funkce je:

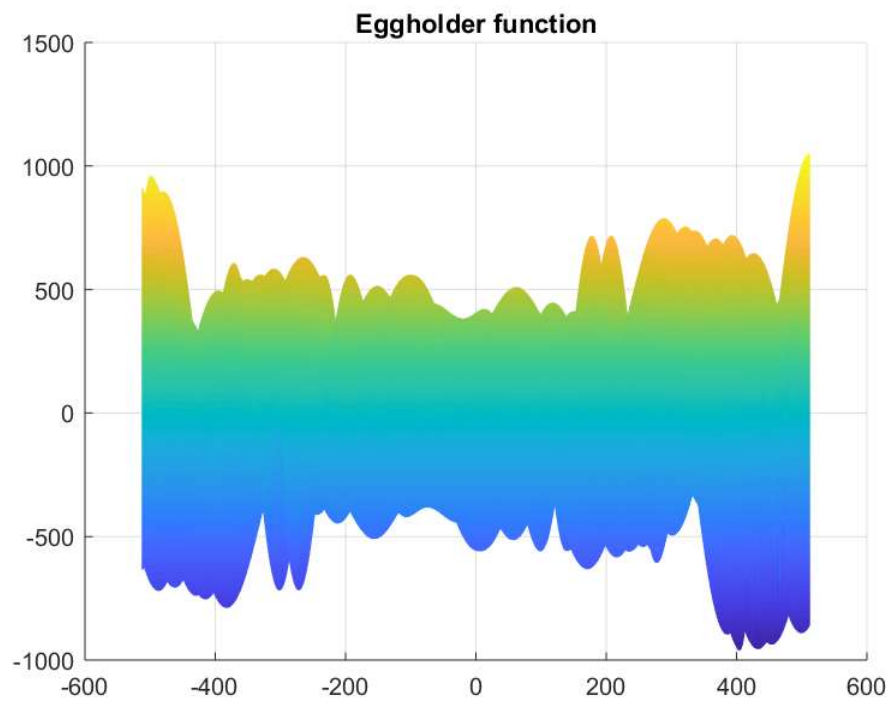
- ❖ $\langle -512, 512 \rangle$.



Obrázek 19: Eggholderova funkce



Obrázek 20: Eggholderova funkce 2D



Obrázek 21: Eggholderova funkce profil

2.5 Levyho funkce

Levyho funkce je dána předpisem:

$$f(x) = \sin^2(\pi\omega_1) + \sum_{i=1}^{d-1} (\omega_i - 1)^2 [1 + 10 \sin^2(\pi\omega_i + 1)] + (\omega_d - 1)^2 [1 + \sin^2(2\pi\omega_d)],$$

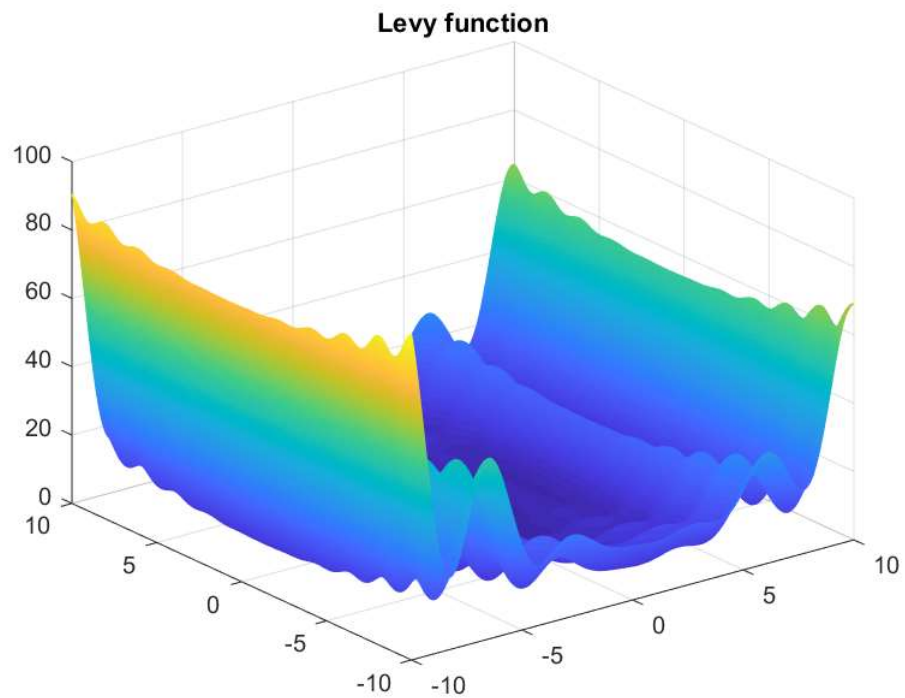
kde $\omega_i = 1 + \frac{x_i - 1}{4}$, pro všechny $i = 1, \dots, d$.

Globální minimum je:

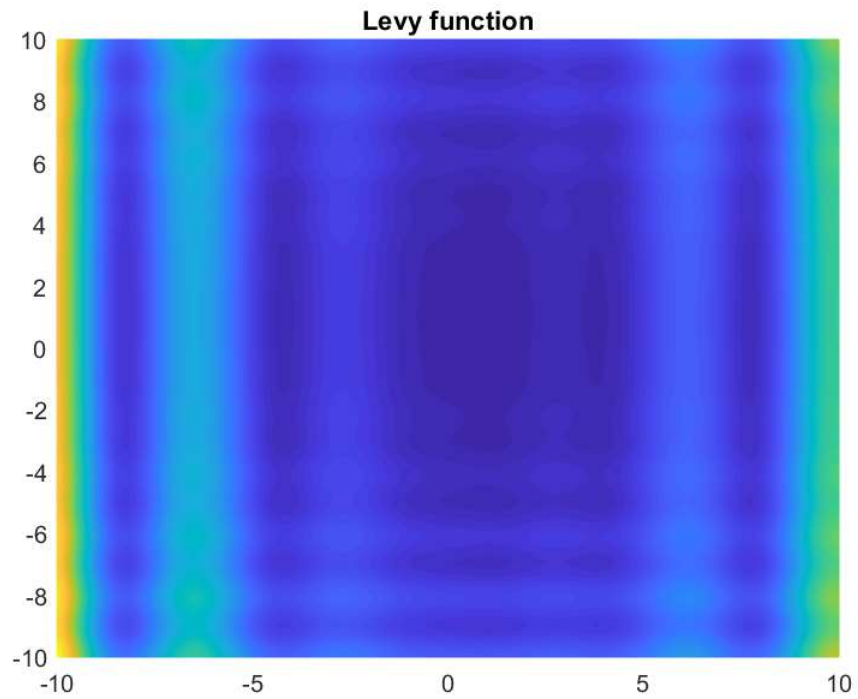
- ❖ $f(x^*) = 0$,
- ❖ $x^* = (1, \dots, 1)$.

Interval funkce je:

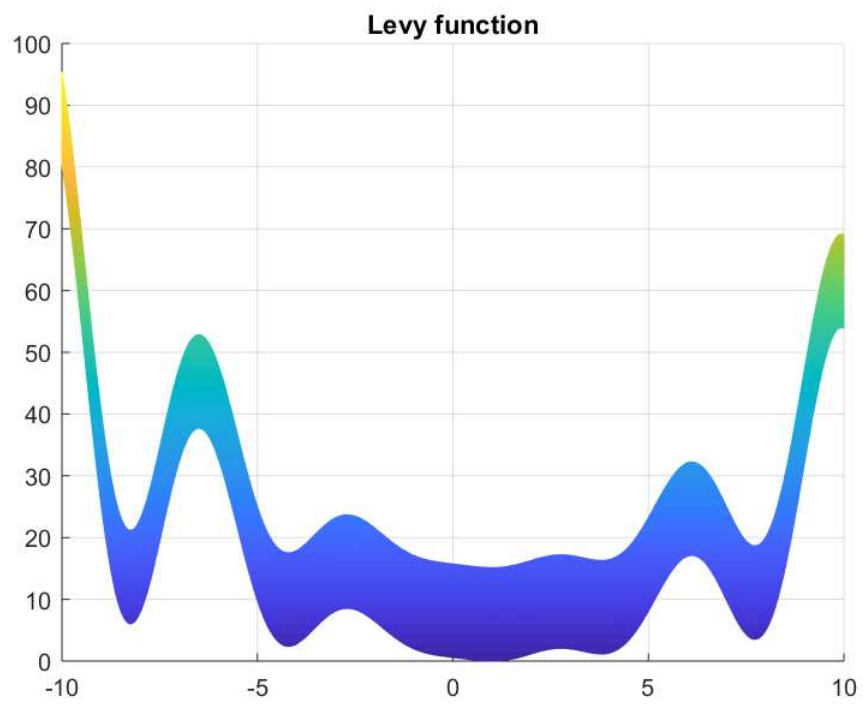
- ❖ $\langle -10, 10 \rangle$.



Obrázek 22: Levyho funkce



Obrázek 23: Levyho funkce 2D



Obrázek 24: Levyho funkce profil

2.6 Rastriginova funkce

Rastriginova funkce je dána předpisem:

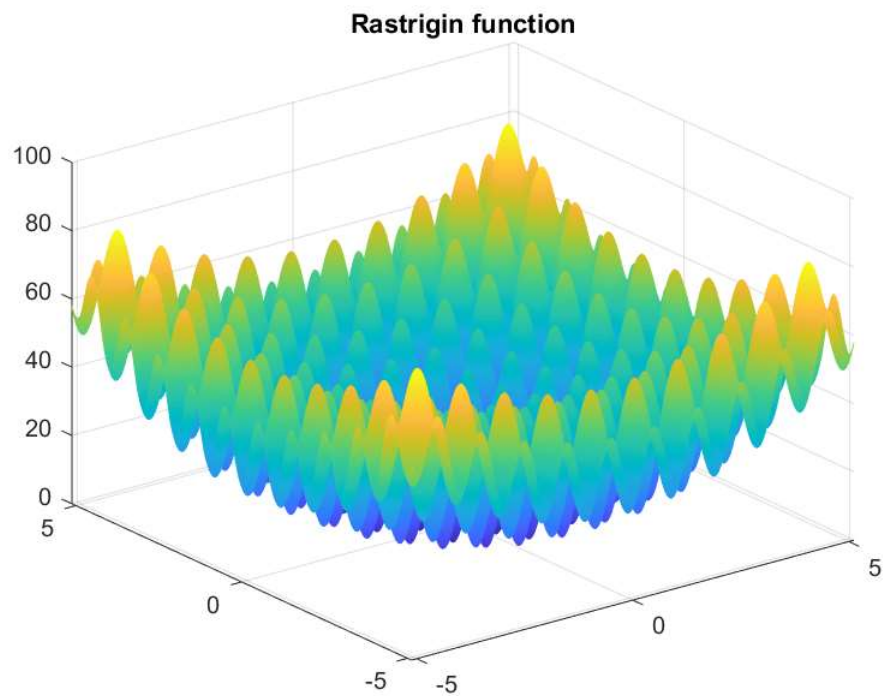
$$f(x) = 10d + \sum_{i=1}^d [x_i^2 - 10 \cos(2\pi x_i)], \text{ kde}$$

globální minimum je:

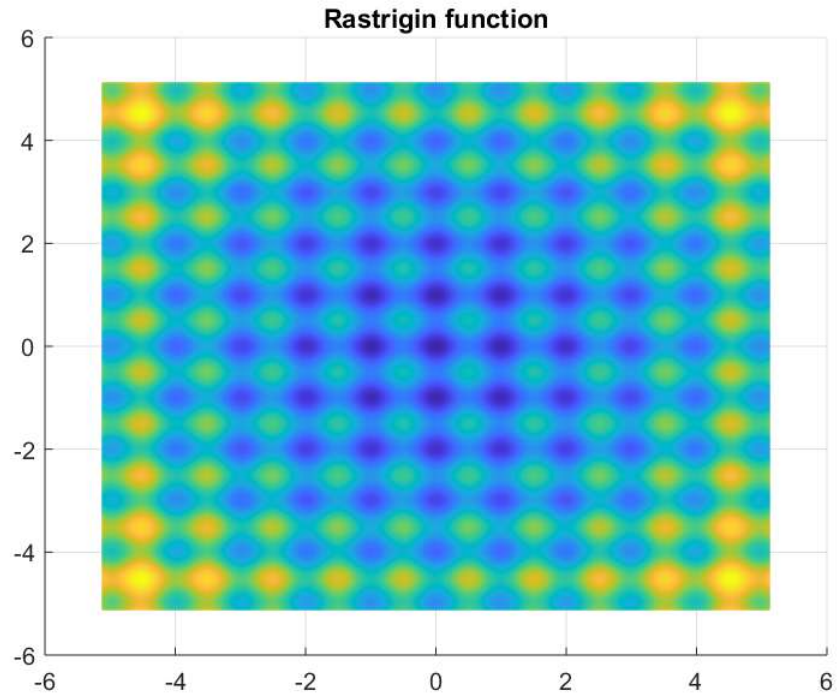
- ❖ $f(x^*) = 0$,
- ❖ $x^* = (0, \dots, 0)$.

Interval funkce je:

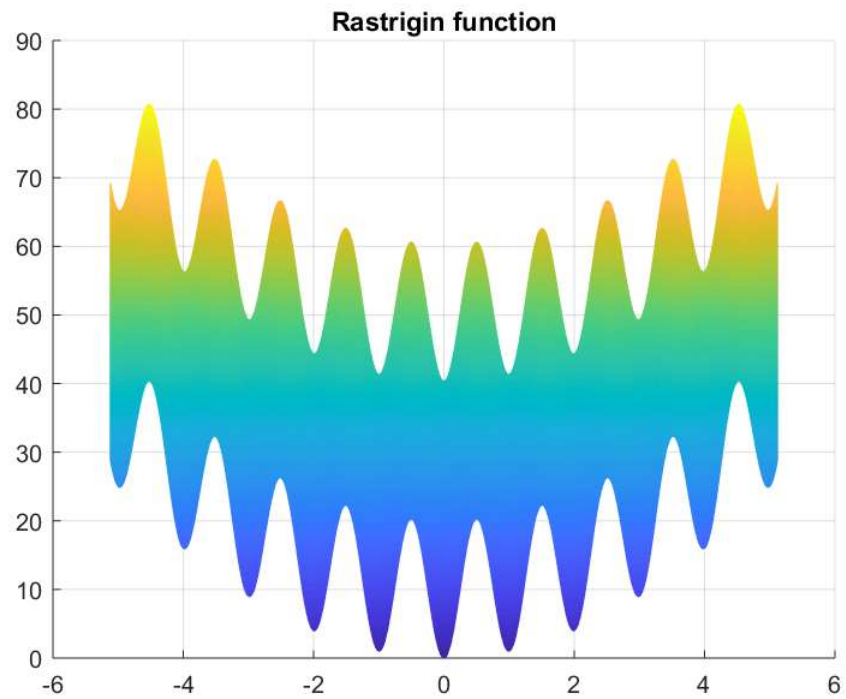
- ❖ $\langle -5.12, 5.12 \rangle$.



Obrázek 25: Rastriginova funkce



Obrázek 26: Rastriginova funkce 2D



Obrázek 27: Rastriginova funkce profil

2.7 Schwefelova funkce

Schwefelova funkce je dána předpisem:

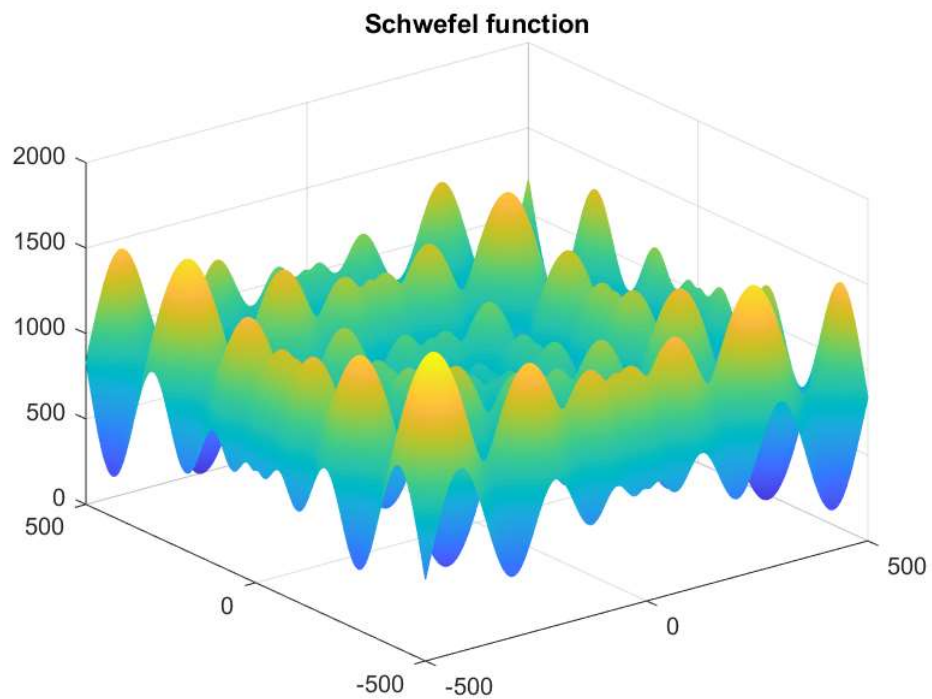
$$f(x) = 418.9829d - \sum_{i=1}^d x_i \sin(\sqrt{|x_i|}), \text{ kde}$$

globální minimum je:

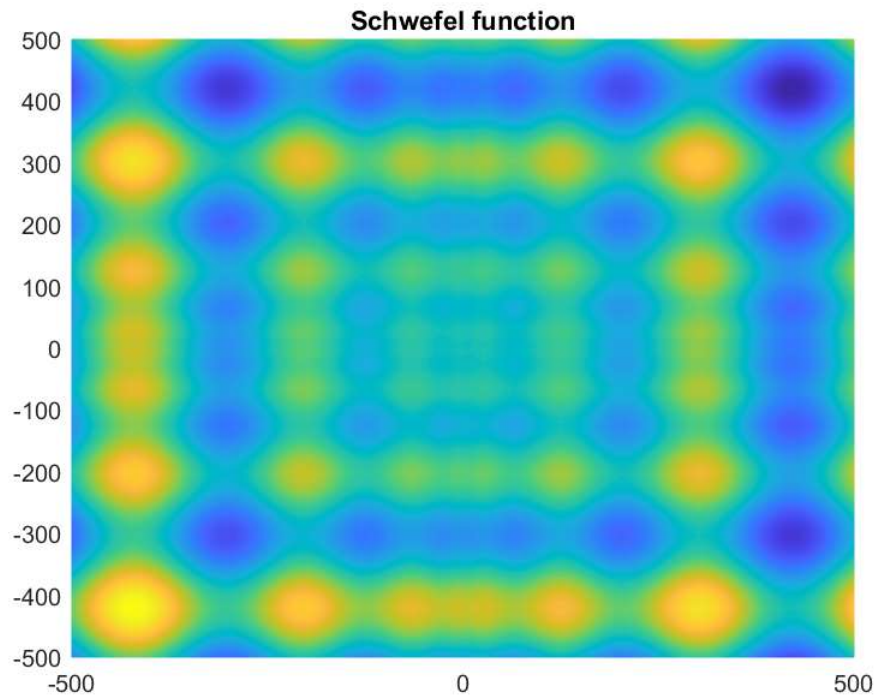
- ❖ $f(x^*) = 0$,
- ❖ $x^* = (420.9687, \dots, 420.9687)$.

Interval funkce je:

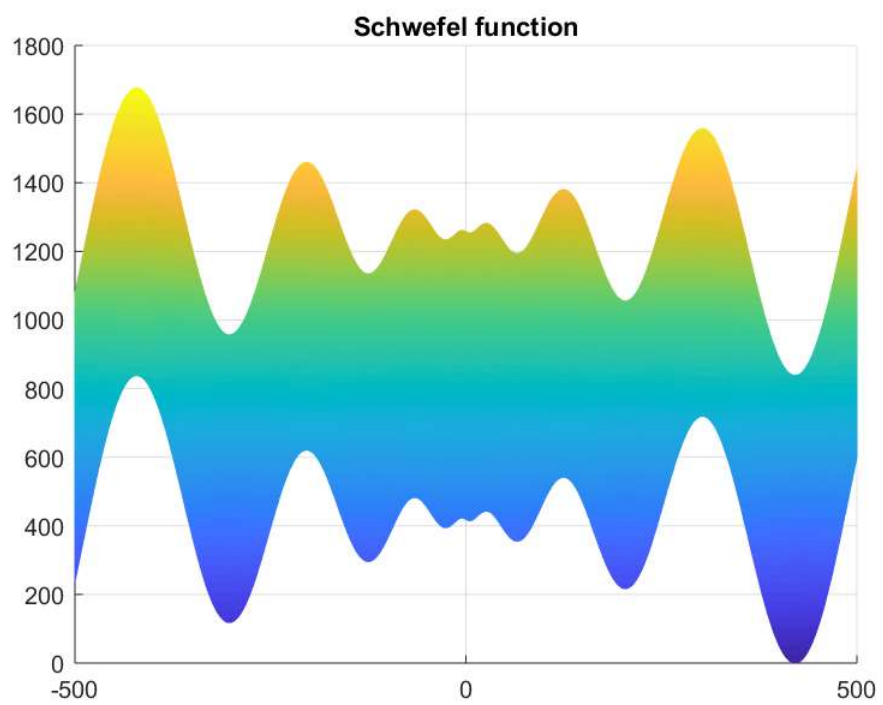
- ❖ $\langle -500, 500 \rangle$.



Obrázek 28: Schwefelova funkce



Obrázek 29: Schwefelova funkce 2D



Obrázek 30: Schwefelova funkce profil

2.8 Rosenbrockova funkce

Rosenbrockova funkce je dána předpisem:

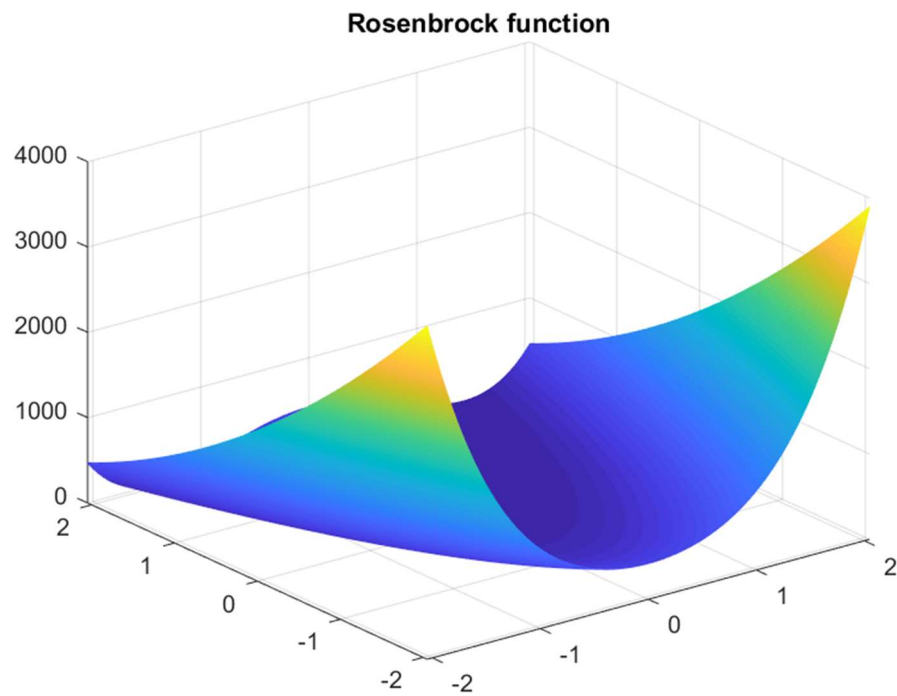
$$f(x) = \sum_{i=1}^{d-1} [100(x_{i-1} - x_i^2)^2 + (x_i - 1)^2], \text{ kde}$$

globální minimum je:

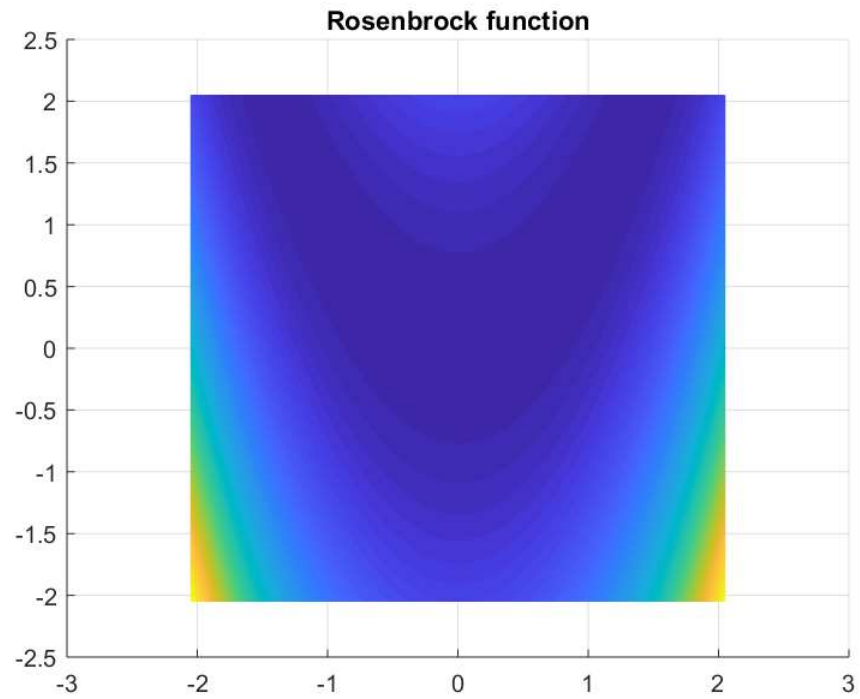
- ❖ $f(x^*) = 0$,
- ❖ $x^* = (1, \dots, 1)$.

Interval funkce je:

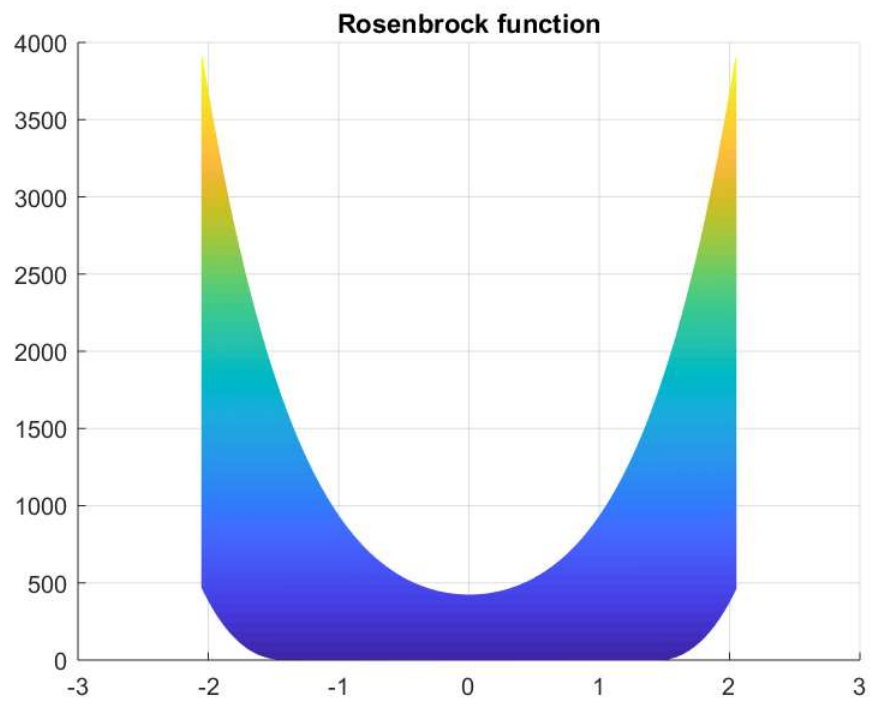
- ❖ $\langle -2.048, 2.048 \rangle$.



Obrázek 31: Rosenbrockova funkce



Obrázek 32: Rosenbrockova funkce 2D



Obrázek 33: Rosenbrockova funkce profil

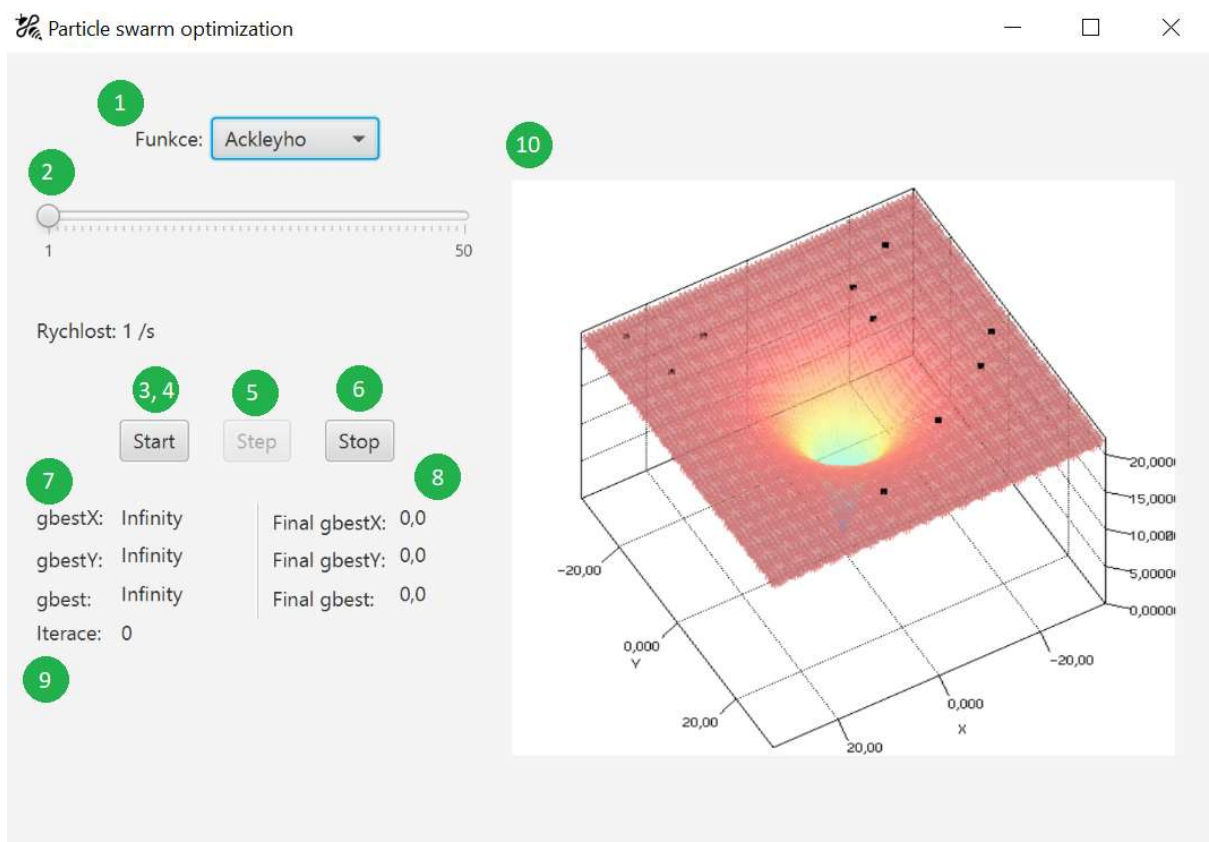
3 POPIS PROGRAMU

Program je postaven na vzorci pro vyhledávání optima s násobením setrvační konstantou podle:

$$v_i(t) = \phi_{ic} v_i(t - 1) + c_1 \cdot rand_1 \cdot (p_i - x_i(t - 1)) + c_2 \cdot rand_2 \cdot (p_g - x_i(t - 1)).$$

Aplikace je vytvořena ve vývojovém prostředí NetBeans IDE 8.2 (Build 201610071157) v jazyce JavaFX.

Na Obr. 34 jsou v zeleně očíslovány prvky v grafickém rozhraní aplikace, které dále podrobně popíši.



Obrázek 34: Popis aplikace

1. Funkce: „název funkce“ – pro vykreslení požadované funkce je nutné vybrat funkci z kombinovaného pole. Zde jsou na výběr funkce, které jsou implementovány. Při spuštění programu je kombinované pole inicializováno na funkci „Ackleyho“.
2. Slider počtu iterací za sekundu. Lze měnit libovolně i za běhu programu. Při maximální rychlosti nemusí počet iterací za sekundu odpovídat z důvodu výpočetní náročnosti algoritmu.

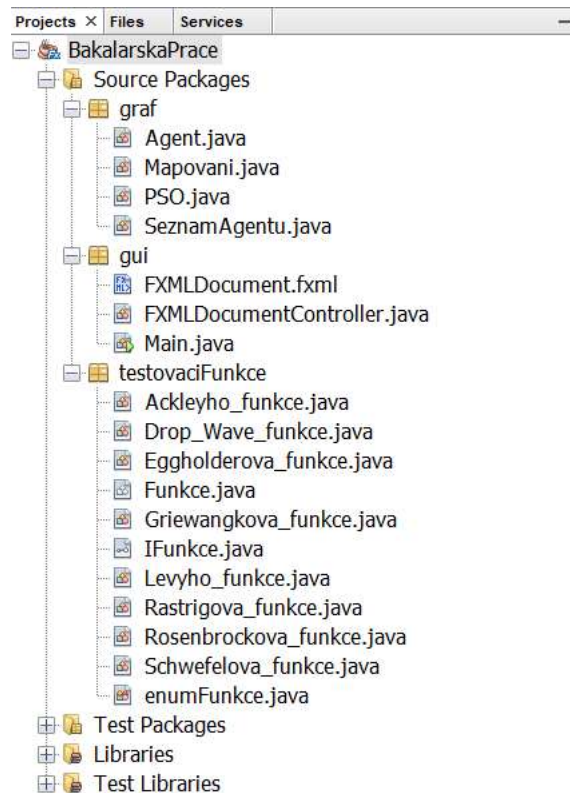
3. Tlačítko „Start“ – spustí simulaci hledání optima. Zároveň se spustí animace v grafu (10). Mění se pohyb částic v grafu pro lepší znázornění práce algoritmu. Pokud je simulace spuštěna, nápis na tlačítku se změní na „Pause“.
4. Tlačítko „Pause“ – pozastaví aktuálně běžící simulaci. Výsledné hodnoty nejsou změněny. Pokud je simulace pozastavena, nápis na tlačítku se změní na „Start“.
5. Tlačítko „Step“ – pokud simulace není spuštěna, tlačítko je zablokované. Po spuštění simulace je tlačítko odblokováno a provede následující iteraci nezávisle na běhu samotné simulace.
6. Tlačítko „Stop“ – zastaví běh simulace, odstraní se dosavadní nalezené výsledky a nově se inicializuje pole částic.
7. „gbestX“, „gbestY“, „gbest“ – nejlepší hodnoty, které byly simulací dosaženy.
8. „Final gbestX“, „Final gbestY“, „Final gbest“ – hledané hodnoty funkce.
9. „Iterace“ – aktuální iterace simulace. Každá iterace posune částice podle algoritmu PSO. V jedné iteraci se posune částice pouze 1x.
10. Graf funkce – 3D zobrazení grafu funkce včetně pozic agentů. Graf lze libovolně otáčet myší a tím měnit pohled.

3.1 Ukázky kódu

Kód je strukturován do balíčků.

1. Graf – obsahuje soubory pro vytvoření částice, seznamu částic, mapování grafu, výpočet algoritmu PSO.
2. Gui – obsahuje veškerou grafickou část a propojení funkce, algoritmu a částic do grafického rozhraní. K animaci pohybu částic v grafu byly využity třídy Timer a TimerTask.
3. Testovací funkce – balíček s implementovanými funkcemi. Všechny funkce mají implementované rozhraní IFunkce a jsou potomky abstraktní třídy Funkce. Jména všech funkcí jsou zapsána ve výčtovém souboru enumFunkce.

Následující obrázek ukazuje strukturu programu – rozložení do tříd.



Obrázek 35: Struktura programu

Tato část kódu popisuje kontrolu $pBest$ a $gBest$. Následně je zde počítána rychlost, což je srdce celého algoritmu.

```

if (pbest.z > z) {
    pbest.set((float) x, (float) y, (float) z);
    if (gBest.z >= z) {
        gBest = pbest;
    }
}

rychlost.x = (float) (rychlost.x * konfidenčníKoefficient2 + a.generatorNahodnychCisel(0, konfidenčníKoefficient1) * (pbest.x - x)
    + a.generatorNahodnychCisel(0, konfidenčníKoefficient1) * (gBest.x - x));
rychlost.y = (float) (rychlost.y * konfidenčníKoefficient2 + a.generatorNahodnychCisel(0, konfidenčníKoefficient1) * (pbest.y - y)
    + a.generatorNahodnychCisel(0, konfidenčníKoefficient1) * (gBest.y - y));

x += rychlost.x;
y += rychlost.y;

```

Obrázek 36: Řešení PSO v kódu JavaFX

Tato část kódu popisuje kontrolu mezí, což znamená, že pokud by skok vedl mimo interval, nastaví se pozice na hranici intervalu, který byl překročen.

```

x += rychlost.x;
y += rychlost.y;

if (fc.getIntervalOd() > x) {
    x = fc.getIntervalOd();
    rychlost.x = 0;
}
if (fc.getIntervalDo() < x) {
    x = fc.getIntervalDo();
    rychlost.x = 0;
}
if (fc.getIntervalOd() > y) {
    y = fc.getIntervalOd();
    rychlost.y = 0;
}
if (fc.getIntervalDo() < y) {
    y = fc.getIntervalDo();
    rychlost.y = 0;
}
z = fc.funkce(x, y);

aktualniPozice.setData(new Coord3d(x, y, z));

```

Obrázek 37: Kontrola hranic skoku v kódu JavaFX

Ukázka třídy, jenž předepisuje informace o testovací funkci.

```

public class Ackleyho_funkce extends Funkce {

    final float intervalOd = (float) -32.768;
    final float intervalDo = (float) 32.768;

    final double X = 0;
    final double Y = 0;
    final double hodnota = 0;

    @Override
    public double funkce(double x, double y) {
        return ((-20) * Math.exp((-0.2) * Math.sqrt((x * x + y * y) / 2))
            - Math.exp((Math.cos(2 * x * Math.PI) + Math.cos(2 * y * Math.PI)) / 2)
            + 20 + Math.E);
    }

    @Override
    public double getX() {
        return X;
    }

    @Override
    public double getY() {
        return Y;
    }

    @Override
    public float getIntervalOd() {
        return intervalOd;
    }

    @Override
    public float getIntervalDo() {
        return intervalDo;
    }
}

```

Obrázek 38: Ukázka předpisu funkce v JavaFX

3.2 Porovnání výsledků

Výsledky byly vyhodnoceny v programu Microsoft Excel pro Office 365 MSO (16.0.10730.20264) 32bitová verze.

Program byl testován na testovacích funkcích. Každá funkce byla testována 100krát. Každé testování probíhalo do doby, dokud byl skok větší než 0,001. První sloupec udává konečný počet iterací do splnění ukončující podmínky. Druhý sloupec je hodnota, kterou algoritmus našel v aktuální iteraci.

3.2.1 Ackleyho funkce

Iterace	Hodnota
32	0,140333
32	0,050061
32	0,165023
34	0,039288
39	0,138876
40	0,065380
40	0,018603
40	0,018148
40	0,011014
41	0,082777
41	0,025626
42	0,020168
42	0,050554
43	0,054820
43	0,032203
44	0,020211
44	0,014412
44	0,047475
45	0,005075
45	0,017598
45	0,000780
46	0,003377
46	0,004184
46	0,027733
46	0,041437
46	0,025800
47	0,017453
47	0,025115
47	0,024807
47	0,004930
48	0,006152
48	0,071534
49	0,011189

49	0,003162
49	0,015689
49	0,070983
49	0,007995
50	0,002624
51	0,003520
52	0,011172
54	0,007396
54	0,015900
55	0,002333
55	0,003557
55	0,007084
55	0,002898
56	0,001034
56	0,001176
56	0,001707
56	0,002505
56	0,007010
56	0,002330
56	0,013533
57	0,010670
57	0,000971
57	0,000971
58	0,007070
58	0,004994
58	0,002968
58	0,003728
59	0,002642
59	0,001480
59	0,001135
59	0,000542
59	0,001103
59	0,001132
59	0,003065

59	0,003169
60	0,006780
60	0,002520
60	0,005164
60	0,005816
60	0,002720
61	0,001653
63	0,001804
63	0,000935
63	0,000945
63	0,000547
63	0,000529
64	0,002920
64	0,000562
64	0,001141
64	0,000763
64	0,000763
65	0,002448
65	0,000516
65	0,000516
66	0,000278
66	0,001788
67	0,000229
67	0,000229
68	0,000494
68	0,000494
68	0,000335
68	0,000829
68	0,000829
68	0,000819
68	0,000819
71	0,001931
82	0,000392

Tabulka 1: Ackleyho funkce - hodnoty testu

Uvedeme výsledky pro 100 experimentů:

- ❖ Střední hodnota byla 0,015599,
- ❖ směrodatná odchylka byla 0,029352,
- ❖ medián je 0,003273,
- ❖ modus je 0,000971,
- ❖ průměrný počet iterací k nalezení použitelného optima je 54,41.

Nejhorsí experiment poskytl výsledek odlišný o 0,165023 od skutečné hodnoty.

3.2.2 Drop-wave funkce

Iterace	Hodnota				
6	-0,785703	20	-0,936235	28	-0,936063
7	-0,935096	20	-0,935943	29	-0,936169
9	-0,936044	21	-0,935656	29	-0,936243
10	-0,936098	21	-0,935956	30	-0,935931
11	-0,936187	21	-0,936216	30	-0,935940
11	-0,936198	21	-0,936180	31	-0,936245
11	-0,936244	21	-0,936240	32	-0,936033
12	-0,936241	21	-0,935898	32	-0,996931
12	-0,932438	21	-0,936238	34	-0,999085
13	-0,935474	21	-0,977507	35	-0,936194
13	-0,935968	22	-0,934040	35	-0,999369
13	-0,785083	23	-0,936182	35	-0,999369
14	-0,936232	23	-0,936238	36	-0,936080
14	-0,936158	23	-0,935968	36	-0,936170
14	-0,936018	23	-0,936236	37	-0,999757
14	-0,934805	23	-0,936241	37	-0,986531
14	-0,936222	23	-0,936240	38	-0,999445
14	-0,936229	24	-0,936163	38	-0,999445
14	-0,928391	24	-0,936220	38	-0,936115
15	-0,936236	24	-0,931596	40	-0,936236
16	-0,935557	24	-0,936242	40	-0,999174
16	-0,936245	25	-0,936051	41	-0,999193
16	-0,936199	25	-0,935597	41	-0,999193
18	-0,936239	25	-0,936245	42	-0,999860
18	-0,936208	26	-0,936030	42	-0,999860
18	-0,936098	27	-0,936210	42	-0,999899
18	-0,936242	27	-0,936241	44	-0,936240
19	-0,936213	27	-0,934720	45	-0,999071
19	-0,936244	27	-0,999638	45	-0,999071
19	-0,936117	27	-0,936245	45	-0,999231
20	-0,933936	27	-0,997362	47	-0,936245
20	-0,935865	28	-0,999513	49	-0,999834
20	-0,936091	28	-0,999513	49	-0,999990
		28	-0,936245		

Tabulka 2: Drop-wave funkce - hodnoty testu

Uvedeme výsledky pro 100 experimentů:

- ❖ Střední hodnota byla -0,947676,
- ❖ směrodatná odchylka byla 0,035416,
- ❖ medián je -0,936226,
- ❖ modus je -0,936245,
- ❖ průměrný počet iterací k nalezení použitelného optima je 25,41.

Nejhorsí experiment poskytl výsledek odlišný o -0,214917 od skutečné hodnoty.

3.2.3 Eggholderova funkce

Iterace	Hodnota				
16	-59,640600	42	-935,32056	57	-94,578400
17	-21,196400	43	-88,948550	58	-93,959870
19	-33,842200	43	-94,578200	58	-94,578300
21	-21,196350	43	-86,514600	59	-93,960200
22	-94,564150	43	-18,167000	59	-86,521800
22	-33,841900	44	-88,948670	59	-94,571530
22	-59,640600	44	-59,640700	61	-88,936770
24	-59,640440	44	-35,335450	61	-88,949100
24	-33,841300	45	-94,573550	62	-88,937300
25	-33,840800	45	-94,578400	63	-53,049800
25	-18,029000	46	-94,576660	64	-15,975700
26	-21,196300	46	-21,196400	64	-59,640400
26	-59,640700	47	-59,636660	66	-86,525450
26	-59,639950	47	-86,525940	66	-59,640140
29	-21,196400	47	-16,670800	68	-94,569950
31	-59,638900	48	-88,945200	70	-59,640600
31	-21,173950	50	-16,666750	72	-88,948900
32	-59,640600	50	-88,948360	73	-94,578700
34	-21,196400	50	-57,361800	75	-86,517000
34	-88,947800	51	-35,327330	75	-94,573600
34	-59,640500	51	-04,792900	76	-94,573900
34	-59,640260	51	-57,857240	78	-53,049500
38	-18,161500	52	-94,577800	79	-53,049900
38	-94,575500	52	-57,857500	79	-86,525700
38	-16,663150	53	-94,578740	85	-56,888850
39	-88,948800	53	-86,522900	89	-56,916560
39	-21,196350	53	-94,575300	90	-56,917240
40	-88,948850	54	-15,921140	91	-86,525760
41	-59,640600	54	-18,167240	96	-94,578860
41	-88,916930	55	-38,012000	102	-94,576050
42	-59,628400	55	-88,949000	158	-56,900800
42	-59,640500	55	-94,578800	159	-956,90120
42	-18,167400	56	-88,949040	170	-56,917850
		57	-94,577900		

Tabulka 3: Eggholderova funkce - hodnoty testu

Uvedeme výsledky pro 100 experimentů:

- ❖ Střední hodnota byla -841,306682,
- ❖ směrodatná odchylka byla 115,551113,
- ❖ medián je -888,948875,
- ❖ modus je -959,640600,
- ❖ průměrný počet iterací k nalezení použitelného optima je 53,25.

Nejhorsí experiment poskytl výsledek odlišný o -465,640130 od skutečné hodnoty.

3.2.4 Griewangkova funkce

Iterace	Hodnota				
31	0,106681	62	0,179841	77	0,052877
33	0,111875	63	0,246938	77	0,049750
35	0,012636	63	0,053019	78	0,025686
39	0,025703	64	0,041542	78	0,009964
40	0,196883	65	0,040778	79	0,017426
43	0,148791	66	0,029821	79	0,000588
45	0,009785	66	0,011081	79	0,051192
45	0,010877	66	0,012023	80	0,010302
45	0,005856	67	0,013502	80	0,012594
48	0,040097	67	0,043366	80	0,010112
48	0,059523	67	0,041806	82	0,049443
49	0,095887	68	0,011152	83	0,004921
50	0,012094	69	0,019792	85	0,000138
50	0,057445	70	0,010082	86	0,050136
50	0,040978	70	0,041189	87	0,004568
51	0,011621	70	0,021207	87	0,040809
51	0,002833	70	0,132636	87	0,010404
52	0,000236	71	0,014600	88	0,004019
52	0,293099	71	0,026318	92	0,011125
54	0,009877	71	0,020562	94	0,114315
56	0,008988	71	0,020038	96	0,013785
57	0,014562	72	0,025639	98	0,040268
57	0,095855	72	0,019830	100	0,050123
57	0,030575	73	0,089553	101	0,050056
58	0,014403	73	0,010256	102	0,004614
59	0,148580	74	0,080346	102	0,250442
59	0,029168	74	0,010193	103	0,039461
59	0,106640	74	0,012541	105	0,009871
60	0,112246	74	0,019828	106	0,011401
60	0,080599	74	0,010187	107	0,011396
61	0,020364	74	0,012241	130	0,012413
61	0,049943	75	0,011259	131	0,012002
62	0,158943	75	0,020372	153	0,001911
		77	0,025997		

Tabulka 4: Griewangkova funkce - hodnoty testu

Uvedeme výsledky pro 100 experimentů:

- ❖ Střední hodnota byla 0,045413,
- ❖ směrodatná odchylka byla 0,057108,
- ❖ medián je 0,020467,
- ❖ konkrétní modus nebyl nalezen, protože funkce je multimodální,
- ❖ průměrný počet iterací k nalezení použitelného optima je 71,47.

Nejhorsí experiment poskytl výsledek odlišný o 0,293099 od skutečné hodnoty.

3.2.5 Levyho funkce

Iterace	Hodnota
4	0,000255
7	0,000543
8	0,000266
11	0,000140
11	0,000902
11	0,032513
12	0,035432
12	0,002039
13	0,000977
13	0,000977
13	0,001460
13	0,073409
14	0,000663
14	0,000550
14	0,000550
14	0,002508
15	0,003428
15	0,000205
15	0,028140
15	0,000060
16	0,000898
16	0,000466
16	0,000817
16	0,014675
16	0,000921
16	0,000546
17	0,000698
17	0,000631
17	0,000631
17	0,001029
17	0,000767
17	0,000483
17	0,000263

17	0,002752
17	0,001183
17	0,000040
17	0,000206
18	0,000534
18	0,000534
18	0,001503
18	0,000513
18	0,000513
18	0,005596
18	0,010062
18	0,000924
18	0,000924
18	0,000709
18	0,000709
19	0,000380
19	0,001173
19	0,000101
19	0,001333
19	0,000132
19	0,000063
19	0,001433
19	0,000177
19	0,000344
19	0,000660
19	0,000660
19	0,002554
19	0,000442
19	0,000442
20	0,000352
20	0,000352
20	0,000198
20	0,002345
20	0,001324

20	0,000681
20	0,000681
21	0,000116
21	0,002606
21	0,000416
22	0,000341
22	0,001703
22	0,000123
22	0,000942
22	0,001919
22	0,001129
23	0,000631
24	0,000871
24	0,000871
25	0,000597
25	0,000597
25	0,000689
25	0,000689
25	0,000041
25	0,000680
26	0,000677
26	0,000677
26	0,002229
27	0,000492
27	0,000492
27	0,000391
31	0,000313
31	0,000313
32	0,000087
32	0,000087
32	0,000551
32	0,000551
4	0,000255

Tabulka 5: Levyho funkce - hodnoty testu

Uvedeme výsledky pro 100 experimentů:

- ❖ Střední hodnota byla 0,002749,
- ❖ směrodatná odchylka byla 0,009143,
- ❖ medián je 0,000660,
- ❖ modus je 0,000977,
- ❖ průměrný počet iterací k nalezení použitelného optima je 19,15.

Nejhorsí experiment poskytl výsledek odlišný o 0,073409 od skutečné hodnoty.

3.2.6 Rastrigova funkce

Iterace	Hodnota
23	1,997409
24	1,997408
27	0,158946
30	1,991139
30	0,998521
30	0,995693
31	0,000955
32	1,011648
33	0,997817
33	4,978357
34	0,000010
34	1,029676
36	0,003710
36	1,011877
36	0,000352
37	0,997698
38	0,135904
39	0,000901
39	0,000901
39	0,995941
39	0,005601
40	0,000027
40	0,000027
40	0,000510
40	0,000578
40	0,996358
41	0,002783
41	0,005900
42	0,995161
42	0,005649
42	0,023379
43	1,990027
43	0,001172

43	0,994965
44	0,002284
44	0,000374
44	0,000374
44	0,000374
45	0,015644
45	3,982140
46	0,000975
46	0,995093
46	0,995526
46	0,000580
46	0,000108
46	0,000135
46	0,002457
46	0,000530
47	0,000699
47	0,000699
47	0,000197
47	0,000197
47	0,000551
47	0,001394
47	0,000604
48	0,001023
49	0,000203
49	0,997097
49	0,000572
49	0,000572
49	0,000682
50	0,000438
50	0,000438
51	0,001853
52	0,000342
52	0,995845
52	0,000418
53	0,000354

53	0,995266
53	0,000845
53	0,000845
55	0,000645
55	0,000645
56	0,000186
56	0,000186
56	0,007142
57	0,018476
58	0,997085
59	0,007032
59	1,013283
59	0,000127
61	0,000078
63	0,001497
63	0,995868
64	0,994974
64	0,000021
69	0,000255
69	0,000255
69	0,011983
70	1,990466
71	0,000071
72	0,000388
72	0,013113
73	0,000870
73	0,000295
73	0,000295
82	0,994985
84	0,000246
88	0,000453
89	0,000123
89	0,000123

Tabulka 6: Rastrigova funkce - hodnoty testu

Uvedeme výsledky pro 100 experimentů:

- ❖ Střední hodnota byla 0,403755,
- ❖ směrodatná odchylka byla 0,811866,
- ❖ medián je 0,000965,
- ❖ modus je 0,000901,
- ❖ průměrný počet iterací k nalezení použitelného optima je 49,96.

Nejhorsí experiment poskytl výsledek odlišný o 4,978357 od skutečné hodnoty.

3.2.7 Rosenbrockova funkce

Iterace	Hodnota				
5	0,105921	31	0,002052	39	0,097224
10	0,000351	31	0,016006	40	0,020207
10	0,000587	31	0,019649	40	0,036522
15	0,026498	31	0,066746	42	0,198897
15	0,005187	31	0,003239	43	0,002536
16	0,004822	32	0,015642	43	0,057232
17	0,029708	32	0,114701	43	0,003651
19	0,087253	32	0,000821	44	0,286368
20	0,313449	33	0,003672	44	0,096786
20	0,000875	33	0,035994	45	0,014198
21	0,000078	33	0,012689	45	0,096455
21	0,000486	33	0,001006	45	0,010503
21	0,000486	33	0,004596	45	0,000262
22	0,037441	33	0,021213	45	0,000262
23	0,073184	34	0,143453	46	0,105951
23	0,367563	34	0,006472	46	0,035135
23	0,311952	34	0,115222	46	0,148080
23	0,008590	34	0,012018	47	0,034111
24	0,040855	34	0,001201	47	0,035099
24	0,004952	34	0,000837	47	0,023325
25	0,025170	34	0,139407	48	0,034016
25	0,029592	35	0,142462	48	0,047251
25	0,003468	35	0,000912	50	0,027190
27	0,000592	35	0,012333	52	0,052517
27	0,000951	35	0,065788	53	0,000895
27	0,000951	37	0,001553	53	0,000895
29	0,001684	38	0,046642	54	0,002968
29	0,218152	38	0,009499	55	0,119934
30	0,071446	39	0,000432	57	0,011965
30	0,001560	39	0,000432	72	0,036074
30	0,000390	39	0,000403	73	0,035924
30	0,081333	39	0,000297	108	0,051571
31	0,070829	39	0,000700	109	0,051206
		39	0,000057		

Tabulka 7: Rosenbrockova funkce - hodnoty testu

Uvedeme výsledky pro 100 experimentů:

- ❖ Střední hodnota byla 0,047197,
- ❖ směrodatná odchylka byla 0,072850,
- ❖ medián je 0,017828,
- ❖ modus je 0,000486,
- ❖ průměrný počet iterací k nalezení použitelného optima je 36,25.

Nejhorsí experiment poskytl výsledek odlišný o 0,367563 od skutečné hodnoty.

3.2.8 Schwefelova funkce

Iterace	Hodnota
22	336,086550
23	118,452060
29	217,301590
30	0,000097
31	118,458880
32	0,032984
33	0,000241
35	0,000226
35	236,877820
37	217,143200
38	335,579300
38	0,000626
38	118,463326
39	118,445120
39	0,012622
40	0,000663
41	0,000130
41	236,880940
41	0,000147
42	0,000467
42	0,001530
42	118,440310
43	0,001955
43	0,000885
44	236,877290
45	0,001602
45	0,002357
45	217,140030
45	236,876860
46	118,438610
46	217,140700
46	118,442314
46	236,876750

46	0,001166
46	217,139850
47	118,438484
47	236,876880
47	0,000733
47	0,000733
47	118,438730
47	0,000108
47	0,000512
47	236,876740
47	0,000679
47	335,578900
48	118,438610
48	0,000249
48	0,000609
49	118,439110
49	0,001097
49	236,877100
49	118,439285
50	0,001440
50	0,000157
50	0,000157
50	236,878420
51	0,001079
51	118,438900
51	236,880280
52	118,438820
52	118,441690
53	236,876700
53	118,438940
54	118,452225
54	0,001173
54	118,438420
54	236,876710

55	0,000539
55	0,000828
55	0,000828
55	118,438390
56	0,000179
56	118,438515
57	0,000818
57	0,000818
57	118,438490
57	0,001197
57	0,000337
58	0,002716
58	0,000823
58	0,000823
62	236,877820
63	0,000502
63	236,877430
63	236,883090
64	0,000381
64	118,438700
64	118,438370
65	118,439430
65	118,438360
66	118,455010
66	118,439156
66	118,438770
68	217,157730
73	0,002623
81	118,438370
84	0,000779
85	118,438660
86	118,438420
90	118,450290

Tabulka 8: Schwefelova funkce - hodnoty testu

Uvedeme výsledky pro 100 experimentů:

- ❖ Střední hodnota byla 96,536721,
- ❖ směrodatná odchylka byla 99,48390681,
- ❖ medián je 118,438452,
- ❖ modus je 236,877820,
- ❖ průměrný počet iterací k nalezení použitelného optima je 50,92.

Nejhorsí experiment poskytl výsledek odlišný o 336,086550 od skutečné hodnoty.

4 ZÁVĚR

Cílem mé práce bylo seznámit se s algoritmem PSO, následně implementovat algoritmus na testovací funkce a vytvořit aplikaci s uživatelským rozhraním.

Testování algoritmu na testovacích funkcích dopadlo úspěšně a ve většině případů bylo nalezeno použitelné optimum v rámci základní implementace. U některých složitějších testovacích funkcí, např. Eggholderova funkce, bych pro častější nalezení globálního optima doporučil úpravy koeficientů akcelerace. V případě že by úprava koeficientů byla nedostačující, bylo by vhodné zvýšit dobu explorační a následně zvýšení počtu iterací.

V budoucnu lze tuto práci dále rozvíjet z toho důvodu, že tento algoritmus lze použít ke strojovému učení, které je v moderní době velice perspektivní.

POUŽITÁ LITERATURA

- [1] KENNEDY, James a Russell EBERHART. Particle swarm optimization: treaties and international agreements registered or filed and recorded with the Secretariat of the United Nations. *Proceedings of ICNN'95 - International Conference on Neural Networks* [online]. IEEE, 1995, 1987, 1942-1948 [cit. 2019-05-09]. DOI: 10.1109/ICNN.1995.488968. ISBN 0-7803-2768-3. Dostupné z: <http://ieeexplore.ieee.org/document/488968/>
- [2] HEPPNER, Frank a Ulf GRENANDER. *A stochastic nonlinear model for coordinated bird flocks*. Washington, D.C., 1990. Dostupné také z: https://www.researchgate.net/profile/Frank_Heppner/publication/278411001_A_Stochastic_Non-Linear_Model_for_Bird_Flocking/links/5580a02908aea3d7096e4c8a.pdf. Vědecký článek. University of Rhode Island.
- [3] MILLONAS, Mark. *Swarms, Phase Transitions, and Collective Intelligence*. Ithaca, New York, 1993. Dostupné také z: <https://arxiv.org/abs/adap-org/9306002>. Vědecký článek. Cornell university.
- [4] SURJANOVIC, Sonja a Derek BINGHAM. Virtual Library of Simulation Experiments: Test Functions and Datasets [online]. Simon Fraser University: Bingham, 2013 [cit. 2019-05-07]. Dostupné z: <https://www.sfu.ca/~ssurjano/>.
- [5] HEDAR, Abdel-Rahman. *Global Optimization Test Problems* [online]. Egypt: Hedar, 2006 [cit. 2019-05-07]. Dostupné z: http://www-optima.amp.i.kyoto-u.ac.jp/member/student/hedar/Hedar_files/TestGO.htm.
- [6] NĚMEC, František. *Particle Swarm Optimization: Optimalizace hejnem částic* [online]. Brno: Němec, 2018 [cit. 2019-05-07]. Dostupné z: <http://www.fnemec.cz/projects/mgr/sem2/evo-pso-www/implementace.html>.
- [7] EBERHART, Russell C. a James KENNEDY. *a new optimizer using particle swarm theory* [online]. Nagoya: IEEE International Conference, 1995 [cit. 2019-05-07]. Dostupné z: <https://ieeexplore.ieee.org/document/494215>.
- [8] VOLNÁ, Eva. *Evoluční algoritmy a neuronové sítě* [online]. Ostrava, 2012. Dostupné z: http://physics.ujep.cz/~mmaly/vyuka/MPVT_II/Heuristiky/SOMAdetail-Evolucni_algoritmy_a_neuronove_site+Genetika.pdf. Studijní opora. Ostravská univerzita v Ostravě.
- [9] NĚMEČEK, Patrik. *Optimalizační úlohy na bázi částicových hejn (PSO)* [online]. Brno, 2014 [cit. 2019-05-07]. Dostupné z: https://www.vutbr.cz/www_base/zav_prace_soubor_verejne.php?file_id=119303. Diplomová práce. Vysoké učení technické v Brně, Fakulta informačních technologií. Vedoucí práce Josef Schwarz.
- [10] WANG, Dongshu, Dapei TAN a Lei LIU. *Particle swarm optimization algorithm: an overview* [online]. China: Soft Comput, 2017 [cit. 2019-05-07]. Dostupné z: <https://doi.org/10.1007/s00500-016-2474-6>.